



MICROFICHE N°

04994

République Tunisienne

MINISTÈRE DE L'AGRICULTURE

CENTRE NATIONAL DE  
DOCUMENTATION AGRICOLE  
TUNIS

الجمهورية التونسية  
وزارة الفلاحة

المركز الوطني للتحصي  
للسويق الفلاحي  
تونس

F 1

CNDA 4994

DIRECTION GENERALE  
DES RESSOURCES EN EAU

ETUDE HYDROGEOLOGIQUE PRELIMINAIRE  
DU PLATEAU DE LAYADA  
(EL ALA)

-003-

MARS 1989

A. KALLALI

ETUDE HYDROGEOLOGIQUE PRELIMINAIRE  
DU PLATEAU DE SAYADA  
( EL ALA )

Abderrahmen KALLALI  
avec  
la collaboration  
de  
Mohamed AYACHI

## SOMMAIRE

- 1 - INTRODUCTION :
- 2 - CADRE GEOGRAPHIQUE :
- 3 - CADRE HYDROLOGIQUE :
  - 3.1. - ETUDE MORPHOLOGIQUE :
  - 3.2. - ESTIMATION DU RUISSELLEMENT MOYEN ANNUEL :
    - 3.2.1. - Pluie moyenne des B.V. :
    - 3.2.2. - Calcul de la lame ruisselée :
      - 3.2.2.1. - Formule de Montmarin :
      - 3.2.2.2. - Formule de A. CHORHEL :
      - 3.2.2.3. - Formule de M. PERSI :
      - 3.2.2.4. - Critique des résultats obtenus :
  - 3.3. - CLIMATOLOGIE :
    - 3.3.1. - Température :
    - 3.3.2. - Calcul du déficit d'écoulement :
  - 3.4. - ASIMILATION DE L'INFILTRATION :
  - 3.5. - CONCLUSION :  
  - 4 - CADRE GEOLOGIQUE :
    - 4.1. - STRATIGRAPHIE-FACIES :
      - 4.1.1. - Le Crétacé :
      - 4.1.2. - Le Paléocène :
      - 4.1.3. - L'Eocène :
      - 4.1.4. - L'Oligocène :
    - 4.2. - TECTONIQUE :
  
    - 5 - CADRE HYDROGEOLOGIQUE :
      - 5.1. - CONFIGURATION DES RESERVOIRS :
        - A/ Les grès :
        - B/ Les calcaires de l'Abiod :
        - Etude par prospection électrique :
      - 5.2. - RESULTATS DES FORAGES DE RECONNAISSANCE :
        - 5.2.1. - Le forage Ecole Rouky N° IRH 18702/4 :
        - 5.2.2. - Le forage d'El Gouacem 2 N° IRH 18756/4 :
        - 5.2.3. - Le Sondage d'El Gouacem 1 N° IRH 18711/4 :
        - 5.2.4. - Le Forage El Garaba 1 N° IRH 18712/4 :
        - 5.2.5. - Le Forage El Garaba 2 N° IRH 18747/4 :
      - 5.3. - LES PUITS DE SURFACE ET LES SOURCES :
        - 5.3.1. - Interprétation de la carte de salinité :
        - 5.3.2. - Remarque :
        - 5.3.3. - Analyse chimique complète :
        - 5.3.4. - Caractéristiques physico-chimiques de l'eau :
          - A / Titre hydrométrique :
          - B / Risques liés aux Bicarbonates :
          - C / Risques liés aux chlorures :
          - D / Risques liés au Sodium :
  
    - 6 - CONCLUSION :
  
    - BIBLIOGRAPHIE SOMMAIRE
  
    - ANNEXE : INVENTAIRE DES POINTS D'EAU.

## PLANCHES ET FIGURES

### FIGURES :

- fig 1 : Carte de situation géographique
- fig 2 : Courbe hypsométrique d'O. Souiouine
- fig 3 : Courbe hypsométrique d'O. Chaara
- fig 4 : Courbe hypsométrique d'O. Charia
- fig 5 : Enquête tectonique du massif de la Kessera
- fig 6 : Coupe géofléttriques - profil 1
- fig 7 : Coupe géofléttriques - profil 2
- fig 8 : Coupe géofléttriques - profil 3
- fig 9 : Diagrammes logarithmiques d'analyse.

### PLANCHES :

- planche 1 : Carte du réseau hydrographique
- planche 2 : Carte géologique
- planche 3 : Carte des points d'eau
- planche 4 : Carte de salinité de la nappe phréatique.

## 1 - INTRODUCTION :

Cette étude est réalisée en vue de prospection les ressources en eau souterraine du plateau de Sayada, l'une des zones où le problème de soif se pose avec acuité.

## 2 - CADRE GEOGRAPHIQUE : (fig 1)

Le plateau de Sayada se situe à l'extrémité NW du Gouvernorat de Kairouan et fait partie de la délégation d'al Ala.

La région se situe sur la carte d'Etat Major au 1/50.000 de Bohia-Dj. Barbrou N° 61. Elle est comprise dans le cadre défini par les latitudes 39° 58' 00" et 39° 72' 00" et les longitudes 7G 64' 00" et 7G 85' 00".

Elle est caractérisée par sa topographie assez élevée dans l'ensemble allant de 600 à 900 m (Kroumet Ouriane 908 m, Kroumet Seder 819 m). Sa morphologie est complexe du fait de son chevauchement sur deux bassins versants totalement différents à savoir le bassin versant du Merguellil au Nord et celui du Zeroud au Sud.

## 3 - CADRE HYDROLOGIQUE :

### 3.1 - Etude morphologique

La région est traversée (Planche N° 1) par trois affluents importants, ce sont : - O. Ech Charia,  
- O. Ech Chara  
- O. Souiouine.

Les deux premiers affluents se déversent dans les oueds suivants avant d'aboutir au Merguellil : O. El Laboun, O. El Hassi, O. El Ousseir et O. El Jebbes.

L'O. Souiouine se déverse respectivement dans les oueds R'baïba, Serdj, Kef Rhorab, Hatab avant d'aboutir au Zeroud.

Pour déterminer les caractéristiques morphologiques de ces trois bassins versants, on définit les facteurs suivants :

.../...

GARTE DE SITUATION GEOGRAPHIQUE

UNIBIZ

LETS DE L'AGRICULTURE

MESURES DE L'EAU ET DU SOL

UN ET UN DÉPARTEMENT HYDROGRAPHIQUE



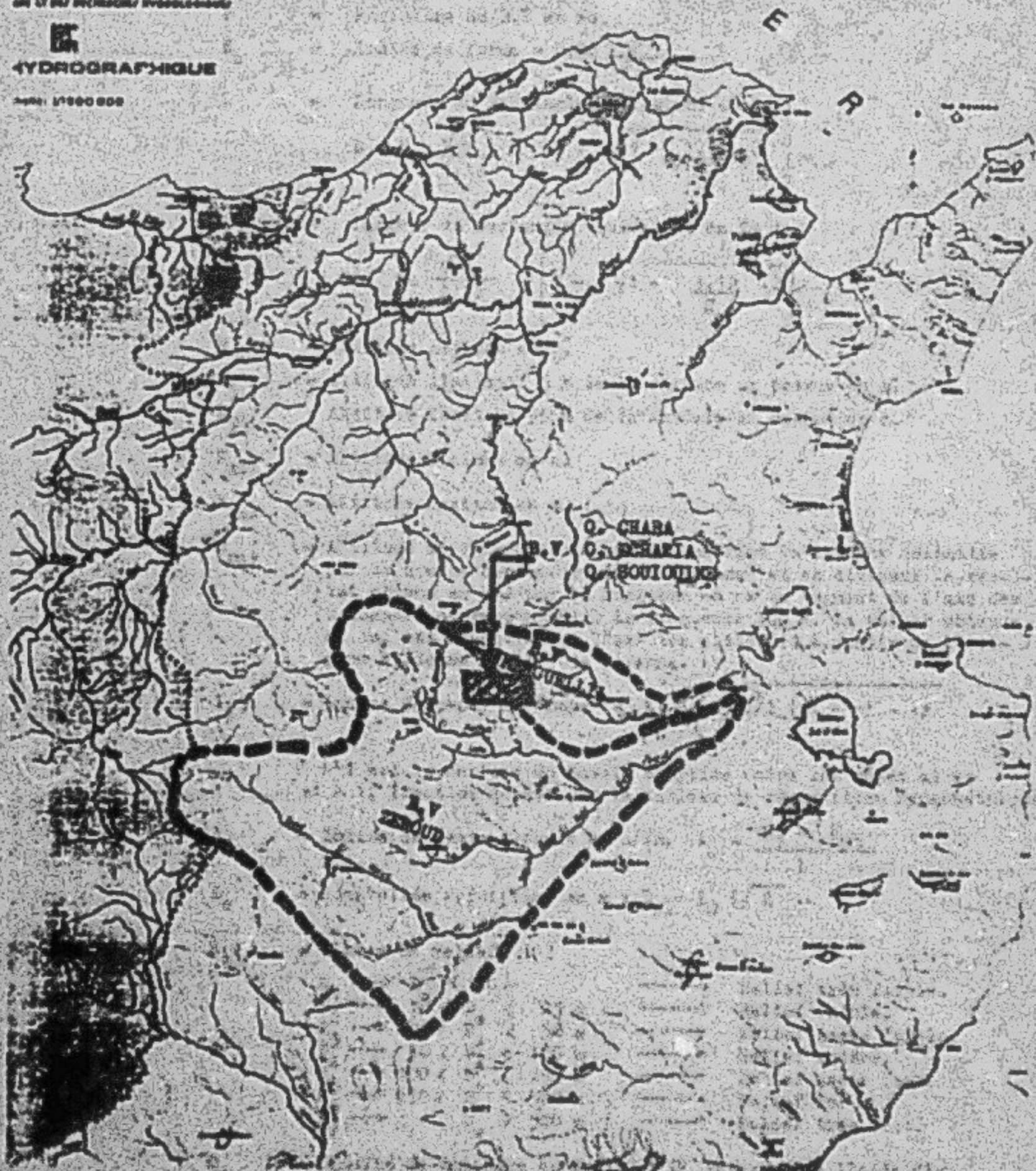
HYDROGRAPHIQUE

LETS 1:500 000

50°

N

FIG. 1



MAP 1:500 000  
IS HYDROGRAPHIQUE DE LA MÉDITERRANÉE

$S$  = Surface du B.V en  $\text{km}^2$

$P$  = Périmètre du B.V en Km

$K_c$  = Indice de forme = 0,28  $\frac{P}{\sqrt{S}}$

$L$  = Longueur du rectangle équivalent en Km :

$$L = K_c \cdot \frac{\sqrt{S}}{1,12} \left[ 1 + \sqrt{1 - \left( \frac{1,12}{K_c} \right)^2} \right]$$

$l$  = Largeur du rectangle équivalent en Km :

$$l = K_c \cdot \frac{\sqrt{S}}{1,12} \left[ 1 - \sqrt{1 - \left( \frac{1,12}{K_c} \right)^2} \right]$$

$H_{50}$  = Altitude médiane en m.

$H_5$  = Altitude limitant 5 % de la surface au dessus en m.

$H_{95}$  = Altitude limitant 95 % de la surface au dessus en m.

$H_{\min}$  = Altitude minimum en m.

$H_{\max}$  = Altitude maximum en m.

$H_{\text{moy}}$  = Altitude moyenne obtenue en planimétrant la surface délimitée par la courbe hypsométrique et les axes et en divisant le résultat obtenu en  $\text{cm}^2$  par la longueur en cm du segment de l'axe des ordonnées correspondant à la fréquence 100 %. La valeur obtenue en cm, est reportée sur l'axe des altitudes à partir de l'origine et donne l'altitude moyenne.

$I_p$  = Indice de pente de Hache =  $\frac{1}{\sqrt{S}} \sum \beta_i (z_i - z_{i-1})$

$\beta_i$  est la surface du bassin comprise entre les côtés  $z_i$  et  $z_{i-1}$ , fraction donnée par le tableau de répartition hypsométrique.

$I_G$  = Indice de pente globale en  $\text{m/Km}$ ,  $I_G = \frac{H_5 - H_{95}}{L}$

$D_s$  = Dénivellée spécifique en m :  $D_s = I_G / \sqrt{S}$

$R_D$  = Classe de relief

$R_1 \rightarrow D_s < 10 \text{ m}$

→ Relief très faible.

$R_2 \rightarrow 10 < D_s < 25 \text{ m}$

→ Relief faible.

$R_3 \rightarrow 25 < D_s < 50 \text{ m}$

→ Relief assez faible.

$R_4 \rightarrow 50 < D_s < 100 \text{ m}$

→ Relief modéré.

$R_5 \rightarrow 100 < D_s < 250 \text{ m}$

→ Relief assez fort.

$R_6 \rightarrow 250 < D_s < 500 \text{ m}$

→ Relief fort.

$R_7 \rightarrow D_s > 500 \text{ m}$

→ Relief très fort.

$D_d$  = Densité de drainage en  $\text{km/km}^2$  ! On détermine à l'aide d'un curvimètre la longueur totale des talwegs (des confluentes), le résultat obtenu est divisé par la surface du B.V.

Voici résumées dans le tableau suivant les caractéristiques morphologiques de ces trois bassins versants :

	S	P	X <sub>0</sub>	L	1. <u>Montagne</u>	H <sub>1</sub>	H <sub>2</sub>	H <sub>3</sub>	H <sub>4</sub>	H <sub>moy</sub>	12	T <sub>C</sub>	D <sub>s</sub>	H <sub>a</sub>	D <sub>d</sub>	
Senoumbo	121,6	146,5	1,18	1,5,27	1,7,96	1140	590	792	945	630	750	0,17	120,6	1227	IR <sub>5</sub>	1,24
Bob Gouraud	12,02	17,5	1,11	7,41	7,31	220	590	690	786	604	692	0,184	25,93	89,91	IR <sub>4</sub>	1,74
Cheria	23,92	26,4	1,48	19,69	2,25	900	1550	1752	262	610	742	0,198	23,6	115	IR <sub>5</sub>	1,54

De même nous donnons les tableaux de répartition hydrostratigraphique :

#### **SENOUMBO :**

Altitude (m)	350	400	450	500	550	600	650	700	750	800	850	900	950	1000	1141
Surface en Km <sup>2</sup>	112	120,67	108,3	94,2	85,68	55,9	38,55	11,57	15,25	11,82	2,85	0			
% de la surface totale	100	99,2	89,47	77,46	68,61	49,37	26,76	9,35	14,3	11,5	2,91	0			

#### **BABO GOURAUD :**

Altitude (m)	350	400	450	500	550	600	650	700	750	800	850	900	950	1000	820
Surface en Km <sup>2</sup>	12,975	11,97	9,37	9,3	1,6	0,35	0								0
% de la surface totale	100	96,21	77,92	44,07	13,3	2,91	0								0

#### **CHERIA :**

Altitude (m)	550	600	650	700	750	800	850	900	950	1000
Surface en Km <sup>2</sup>	23,92	23,02	21,2	17,42	12,27	6,27	1,25	0		
% de la surface totale	100	96,23	88,62	72,32	51,29	26,21	5,22	0		

Nous représentons en figures 2, 3 et 4 les 3 courbes hypsométriques ainsi que les 3 rectangles équivalents correspondants à ces bassins versants.

### 3.2 - Estimation du ruissellement moyen annuel :

#### 3.2.1. - Pluie moyenne des B.V. :

Etant donné le manque de stations pluviométriques à l'intérieur de la plupart de ces bassins versants, nous allons utiliser deux stations qui sont : M'harek El Ayeb pour le B.V d'O. Souiouine et Sihira pour les 2 autres. Les résultats des observations sont données dans le tableau suivant :

Station	Pluie									
	moyenne									
	annuelle									
	1978	1979	1980	1981	1982	1983	1984	1985	1986	(mm/mm)
Mharek	-	-	-	-	-	-	-	-	-	-
El Ayeb	-	186,5	256,1	243,7	275,7	177,6	355,0	214,3	214,2	238,0
Sihira	-	-	-	-	-	-	-	-	-	-
65447	265,5	344,8	269,9	314,1	256,1	244,2	352,0	280,4	267,7	286,8

Les apports sont ainsi évalués comme suit :

#### - B.V d'O. Souiouine :

$$B_1 = 121,6 \text{ km}^2 \quad P_1 = 238 \text{ mm/an} \text{ soit } A_{P_1} = 28,94 \cdot 10^6 \text{ m}^3/\text{an.}$$

#### - B.V d'O. Cheria :

$$B_2 = 12,025 \text{ km}^2 \quad P_2 = 286,8 \text{ mm/an} \text{ soit } A_{P_2} = 3,45 \cdot 10^6 \text{ m}^3/\text{an.}$$

#### - B.V d'O. Cheria :

$$B_3 = 23,92 \text{ km}^2 \quad P_3 = 286,8 \text{ mm/an} \text{ soit } A_{P_3} = 6,66 \cdot 10^6 \text{ m}^3/\text{an.}$$

$$\bar{P} = \frac{B_1 P_1 + B_2 P_2 + B_3 P_3}{B_1 + B_2 + B_3} = \frac{121,6 \cdot 238 \cdot 10^6 \text{ m}^3/\text{an.}}{157,545 \cdot 10^6 \text{ m}^2} = 0,249 \text{ m/an.}$$

Soit  $\bar{P} = 249 \text{ mm/an}$  sur l'ensemble du plateau.

FIG. 2

OUD SOUJOURNE

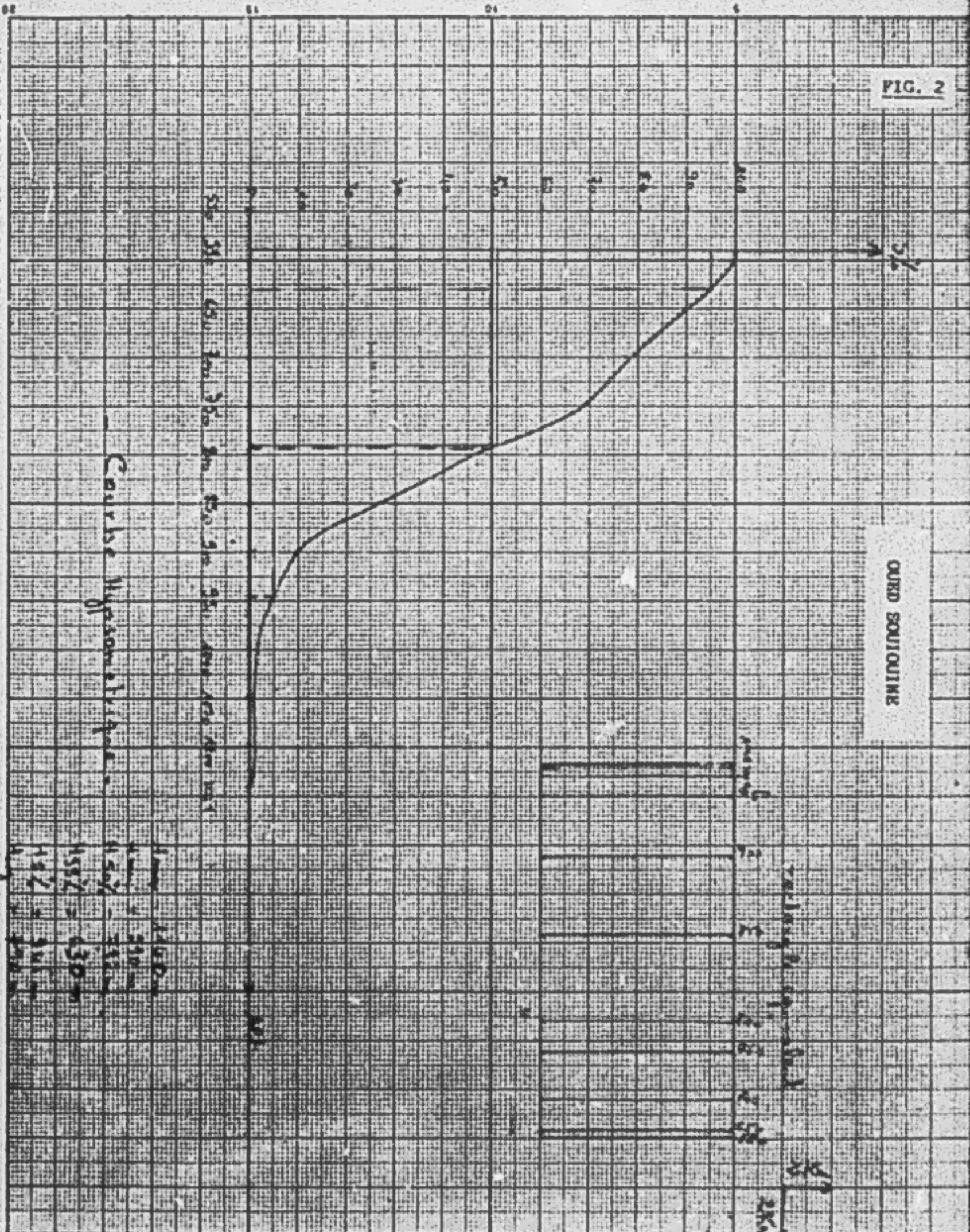
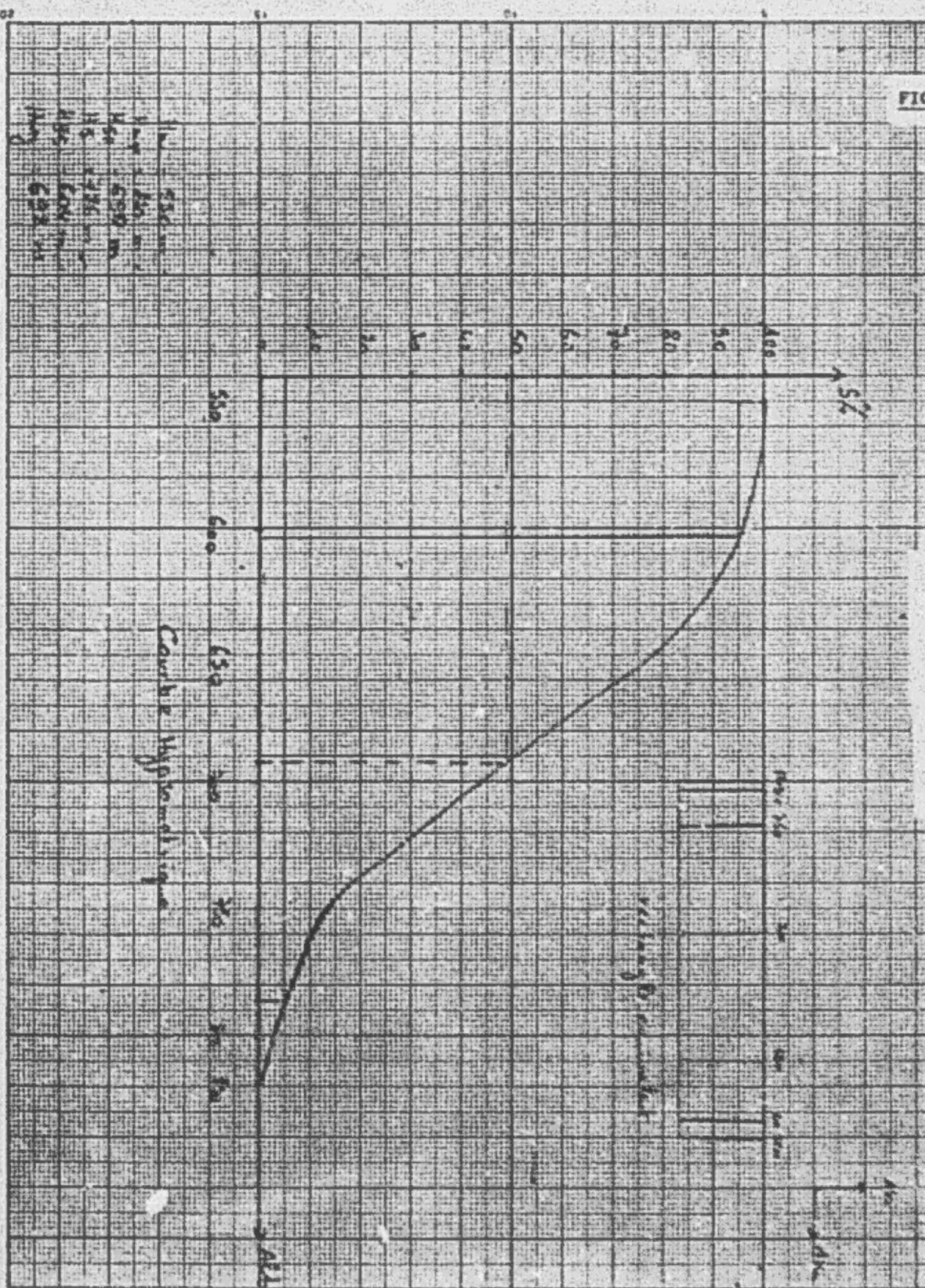
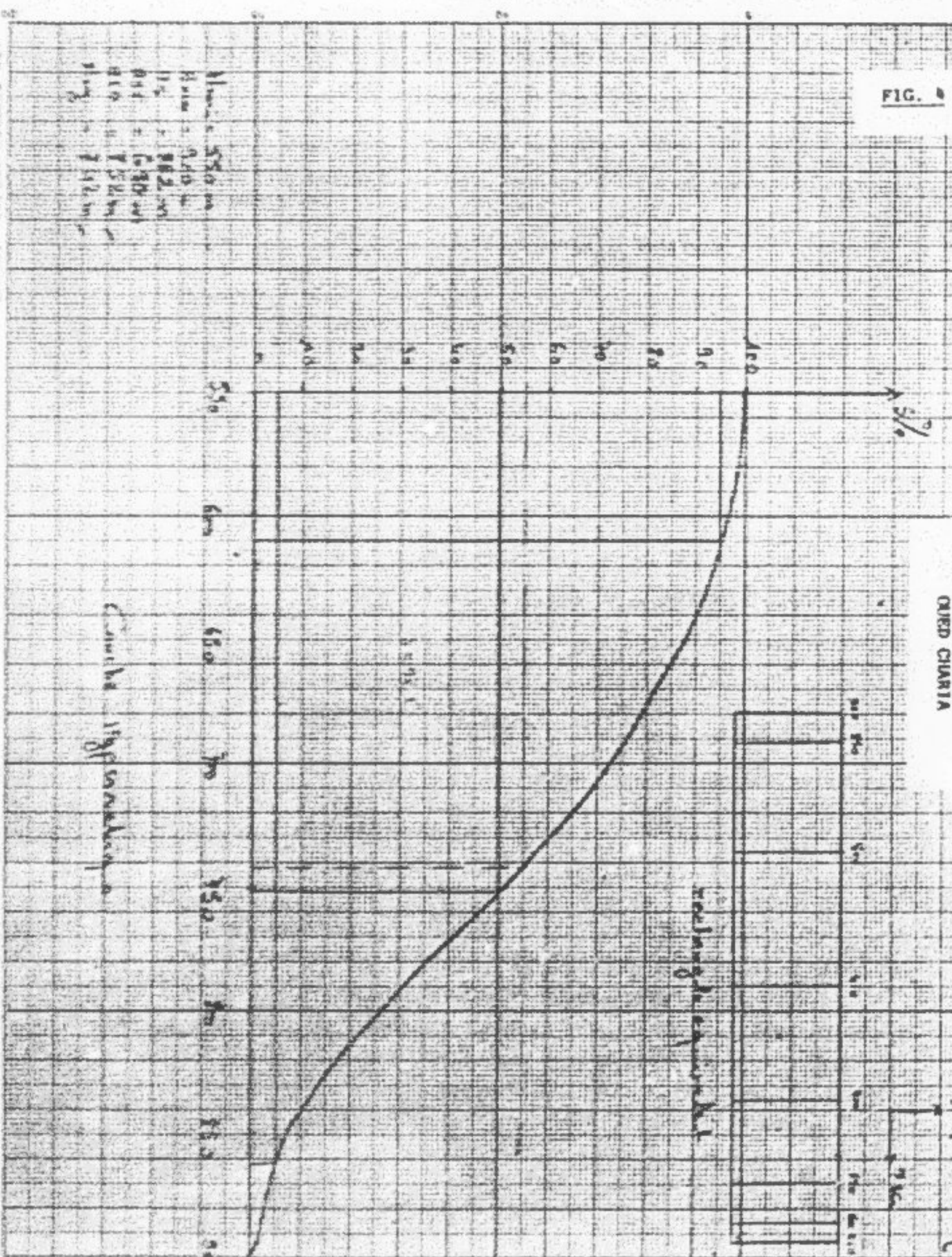


FIG. 3



QED CHART

FIG.



Cette valeur n'est donnée qu'à titre indicatif car les calculs doivent être effectués séparément en raison des caractéristiques morphologiques différentes pour ces bassins versants.

### 3.2.2. - Calcul de la lame ruisselée :

En l'absence de toute mesure pratique c'est-à-dire des jaugeages différentiels, les formules empiriques ne peuvent donner qu'un ordre de grandeur du ruissellement en se limitant surtout à leurs conditions d'application.

#### 3.2.2.1. - Formule de Montmarin :

$$L = (0,125 - 0,001 (\sqrt{S}) ) H$$

avec      L      Lame d'eau éculée en mm  
           H      Pluviométrie moyenne annuelle en mm  
           S      Superficie du bassin versant en Km<sup>2</sup>.

Cette formule généralement appliquée pour les bassins à faible précipitation, ne fait intervenir que la superficie du bassin versant.

L'application de cette formule donne les résultats suivants :

- O. Souiouine :  $L = 27,15 \text{ mm}$        $C_r = \frac{L}{H} \times 100 = 11,4 \%$
- O. Ech Chaara :  $L = 34,85 \text{ mm}$        $C_r = \frac{L}{H} \cdot \cdot \cdot = 12,1\%$
- O. Ech Charia :  $L = 34,45 \text{ mm}$        $C_r = \frac{L}{H} \cdot \cdot \cdot = 12,01\%$

#### 3.2.2.2. - Formule de A. Ghorbel : (Ghorbel - 1979)

C'est une formule régionale permettant l'évaluation de la lame ruisselée à partir des courbes des lames d'eau ruisselées en fonction d'un paramètre  $X$  défini comme suit :

$$X = P^{\frac{1}{3}} (\sqrt{H_{med} - H_{ex}}) \quad \text{avec} \quad \left\{ \begin{array}{l} P : \text{Pluie moyenne en mm} \\ H_{med} : \text{Altitude médiane en m} \\ H_{ex} : \text{Altitude de l'exutoire en m} \end{array} \right.$$

L'équation générale est de la forme :

$$L = [a - b (S - S_0)] [X - X_0] + c$$

$L$  : Lame d'eau ruisselée en mm.

$S$  : Superficie du B.V en Km<sup>2</sup>

$a$ ,  $b$  et  $c$  sont des constantes dépendant de  $X$  et de  $S$ .

L'application de cette formule donne pour

$$0 \leq X \leq 0,75 \quad L = 16X$$

$$L = 16X$$

$$L = 16X$$

Il convient de rappeler que la formule de Ghorbel ne fonctionne pas dans le cas où le ruissellement est très important. Dans ce cas il faut utiliser la méthode de l'analyse hydrographique.

.../...

On obtient alors les résultats suivants :

Bassin Versant	H <sub>med</sub> en m	H <sub>e</sub> en m	P en mm	X	L	C <sub>r</sub>
O. Souiouine	792	590	0.238	0,192	3,1	1,3
O. Ech Chaara	690	550	0.287	0.260	4,5	1,6
O. Charia	752	550	0.287	0.336	5,4	1,9

### 3.2.2.3. - Formule de M. PERSI : (PERSI - 1977)

$$L = K \cdot H \cdot (\sqrt{\frac{I}{S}})$$

- avec      L      = lame d'eau éculée en mm  
           H      = Pluviométrie moyenne annuelle (mm)  
           I      = Indice de pente.  
           K<sup>6</sup>    = 0,0164 pour le Sud tunisien, et  
           K      = 0,011 pour le reste du pays (centre et nord).

Cette formule fait intervenir plusieurs facteurs hydrographiques notamment le relief, géologie, couvert végétal etc...

L'application de cette formule donne les résultats suivants :

Bassin versant	H <sub>e</sub> (m)	I <sub>g</sub>	L	C <sub>r</sub>
O. Souiouine	238	20,6	11,9	5,0
O. Ech Chaara	287	25,93	16,1	5,6
O. Charia	287	23,6	15,3	5,3

### 3.2.2.4. - Critique des résultats obtenus :

Les lames éculées données par la formule de MONTMARIN semblent être surestimées. Elles sont en moyenne 2,3 fois plus grandes que celles calculées par la formule de PERSI. Celles calculées par la formule de GHOREKL semblent être sous-estimées.

Nous pensons raisonnablement que les valeurs les plus proches de la réalité sont celles données par la formule de M. PERSI. Le tracé des courbes hypsométriques et le calcul des dénivellées hydrographiques rendent compte d'un relief modéré à assez fort dans l'ensemble. Aussi attendions-nous à une valeur assez élevée du ruissellement. Cette observation associée à notre connaissance de la nature lithologique des terrains en surface qui sont dans la plupart des cas marneux, c'est-à-dire ne favorisant pas l'infiltration, nous conduit à choisir la méthode qui donne un ruissellement assez important. C'est la méthode de M. PERSI qui est à retenir.

.../...

Les volumes ruisselés sont ainsi définis comme suit :

$$\begin{array}{lll} \text{O. Souiouine} : L = 11,9 \text{ km} & S = 121,6 \text{ km}^2 & V_R = 1,45 \cdot 10^6 \text{ m}^3/\text{an.} \\ \text{O. Chaura} : L = 16,1 \text{ km} & S = 12,025 \text{ km}^2 & V_R = 0,19 \cdot 10^6 \text{ m}^3/\text{an.} \\ \text{O. Charia} : L = 15,3 \text{ km} & S = 23,92 \text{ km}^2 & V_R = 0,57 \cdot 10^6 \text{ m}^3/\text{an.} \end{array}$$

### 3.3 - CLIMATOLOGIE :

#### 3.3.1. - Température :

Les corrélations des températures de la Tunisie Centrale établies dans l'étude hydrogéologique du synclinal d'Ain Beïda (M. HAMZA, 1976) ont permis d'établir un gradient altitudinal répondant à la formule :

$$Z = - 159,5 \cdot T + 3300$$

Z = Altitude moyenne en m du bassin versant.  
T = Température moyenne annuelle en °C du B.V.

L'application de cette formule donne :

$$\begin{array}{lll} \text{- O. Souiouine} & Z = 790 \text{ m} & T = 15,74 \text{ °C} \\ \text{- O. Chaura} & Z = 697 \text{ m} & T = 16,35 \text{ °C} \\ \text{- O. Charia} & Z = 742 \text{ m} & T = 16,04 \text{ °C} \end{array}$$

#### 3.3.2. - Calcul du déficit d'écoulement :

Dans la pratique, le déficit d'écoulement annuel moyen représente l'ETR (Evapo-Transpiration Réelle) de l'année moyenne.

#### \* Formule de TURE :

$$D = \frac{P}{\sqrt{0,9 + \frac{L}{T^2}}} \quad \text{où} \quad \left\{ \begin{array}{l} D \text{ est l'ETR en mm/an} \\ P \text{ la pluviométrie en mm/an} \\ L = 300 + 25 \times T + 0,05 \times T^3 \\ T \text{ Température moyenne annuelle en °C.} \end{array} \right.$$

L'application numérique donne :

$$\begin{array}{lll} \text{- O. Souiouine} : P = 238 \text{ mm} & D = 241,4 \text{ mm} \\ \text{- O. Ksah Chaura} : P = 286,8 \text{ mm} & D = 287,4 \text{ mm} \\ \text{- O. Charia} : P = 286,8 \text{ mm} & D = 286,8 \text{ mm.} \end{array}$$

Cette application semble être exagérée puisqu'elle dépasse même les précipitations.

\* Formule de Contagne :

$$D = P - \lambda P^2 \quad \text{avec}$$

$$\left\{ \begin{array}{l} \lambda = \frac{1}{0,8 + 0,14 \times T} \\ D \text{ est l'ETN en mm/an} \\ P \text{ Pluviométrie moyenne en mm/an} \\ \lambda \text{ Coefficient lié à la température.} \end{array} \right.$$

Cette formule n'est valable que pour

$$\frac{1}{8\lambda} < P < \frac{1}{2\lambda}$$

C'est-à-dire pour nos bassins versants :

- O. Souiouine :  $0,375 < P < 1,5 \text{ mm/an}$
- O. Bah Charia :  $0,385 < P < 1,543 \text{ mm/an}$
- O. Charia :  $0,380 < P < 1,532 \text{ mm/an}$

Cette formule ne pourra donc pas être appliquée à priori au plateau de Sayada où la moyenne annuelle des précipitations est inférieure à 300 mm. Mais étant donné l'absence de station météorologique voisine, son application à nos bassins versants semble être indispensable car la méthode de Turc nous a conduit à des résultats aberrants.

Cependant si on ne tient pas compte des limites de validité de la formule de Contagne on obtient :

- O. Souiouine :  $\lambda = 0,333 \quad P = 0,238 \text{ mm/an} \quad D = 0,219 \text{ mm/an}$
- O. Bah Charia :  $\lambda = 0,324 \quad P = 0,287 \text{ mm/an} \quad D = 0,260 \text{ mm/an}$
- O. Charia :  $\lambda = 0,328 \quad P = 0,287 \text{ mm/an} \quad D = 0,260 \text{ mm/an}$

Cette approche a été effectuée par M. HAMZA dans son étude hydrogéologique du synclinal d'Aïn Beïda (M. HAMZA, 1976, p. 70). Elle a l'avantage d'être la seule qui nous conduise à des valeurs acceptables.

#### 3.4. - ESTIMATION DE L'INFILTRATION :

L'équation du bilan hydrique s'écrit :

$$P = I + L + E$$

- avec  $P$  : Pluviométrie moyenne annuelle en mm/an  
 $I$  : Infiltration en mm/an  
 $L$  : Loss ruisselé en mm/an  
 $E$  : Evapotranspiration en mm/an.

$$\text{d'où l'on tire : } I = P - L - E$$

Les résultats de calcul sont réunis dans le tableau suivant :

	O. Boujouine	O. Ech Cheraa	O. Charia
P (mm / an)	256	266,6	186,8
E (mm/an)	219	260	260
L <sub>r</sub> (mm/an)	11,9	16,1	15,5
V <sub>I</sub> = S x I (m <sup>3</sup> /an)	0,863	0,129	0,275

### 3.5. - CONCLUSION :

Nous retenons pour le plateau de Sayada, les caractéristiques suivantes :

- apport moyen annuel :  $39,25 \cdot 10^6 \text{ m}^3/\text{an}$
- volume total évaporé :  $35,98 \cdot 10^6 \text{ m}^3/\text{an}$
- volume total ruisselé :  $2,01 \cdot 10^6 \text{ m}^3/\text{an}$
- infiltration efficace :  $1,26 \cdot 10^6 \text{ m}^3/\text{an}$ .

Nous signalons d'ores et déjà que le volume infiltré est très minime, il ne représente que 3,2 % de la pluviométrie.

### 4 - CADRE GEOLOGIQUE :

#### 4.1 - STRATIGRAPHIE - FACIES : (Planche N° 2)

Les affleurements observés dans la région vont du crétacé à l'Oligocène.

##### 4.1.1. - Le Crétacé :

a/ Le Sénonien inférieur : Marno-calcaire, il est attribué à la formation d'El Alag et constitue l'assise de la forêt de la Kessera au Nord de Sayada.

b/ Le Sénonien supérieur : Il est attribué à la formation ABICD et se présente sous forme de plusieurs faciès calcaires :

- Calcaire massif cupulaire : Ab3
- Calcaire porcelané à silex parfois dolomitique : Abcd
- Alternances marnes / Calcaires intermédiaires : Ab2
- Calcaire lité inférieur : Ab1
- Calcaire non différencié du Sénonien supérieur : Ab

Le Sénonien supérieur affleure au Nord et s'étend du Dj. Ekhira - Kef Labiod jusqu'à Sebaa Regoub au N.W.

En S.W vers Eléd El Gracou, plusieurs faciès apparaissent dont notamment le faciès marnoux qui ne favorise pas l'infiltration par nature lithologique.

#### 4.1.2. - Le Paléocène : (Formation El Haria)

Il affleure au Nord du plateau au niveau du Dj. Skhira, il est formé de marnes sombres appelées marnes de transition du Maastrichtien au Paléocène.

#### 4.1.3. - L'Eocène :

##### A/ L'Eocène inférieur : (Formation Metlaoui)

- Calcaire Yprésien - Lutétien (N) ou Mt : Faciès à Nummulites.  
(G) : Faciès à Globigérines.
- Paquets déversés et glissés de calcaire nummulitique et marnes paléocénées.

L'Eocène inférieur affleure tout le long de la limite Nord du plateau sous forme d'une barre de calcaire relativement mince.

##### B/ Eocène moyen et supérieur : (Formation Souar)

On rencontre de bas en haut :

- Eocène moy/sup non différencié : So
- Faciès marneux de l'Eocène moy/sup : So - m
- Faciès calcaire de l'Eocène moy/sup : So - c (niveau de calcaires blancs)

Les affleurements de cet étage occupent une superficie immense au plateau de Sayada. Les eaux de surface, en ruisselant dessus, se chargent en sels. Ces faciès se présentent séparément en nature.

#### 4.1.4. - l'Oligocène : (Formation Portuna)

On rencontre de bas en haut :

- l'Oligocène inférieur (OL1) : Oligocène à dominante grès - oligocène non différencié.
- l'Oligocène moyen : Oligocène à dominante marneuse : OL2
- l'Oligocène supérieur (OL3 - OL4) : -Grès supérieurs.  
-Grès continentaux à bois silicifiés.

Il affleure :

- au NW où il constitue l'assise du Dj. Barbrou.
- à l'Est où il constitue la zone d'alimentation de la nappe de Bou Hafna.

#### 4.2. - TECTONIQUE : (Fig 5)

La zone d'étude fait partie de l'anticlinorium de la Kessera-Bargou. Il ressort des travaux de CASTANY (1951) que le massif de la Kessera peut être considéré comme un baste dôme dont la voute a subi des replis se développant en anticlinorium par le même mécanisme qu'au Dj. Bargou. Les axes ainsi constitués forment une série continue de plis en arc de cercle.

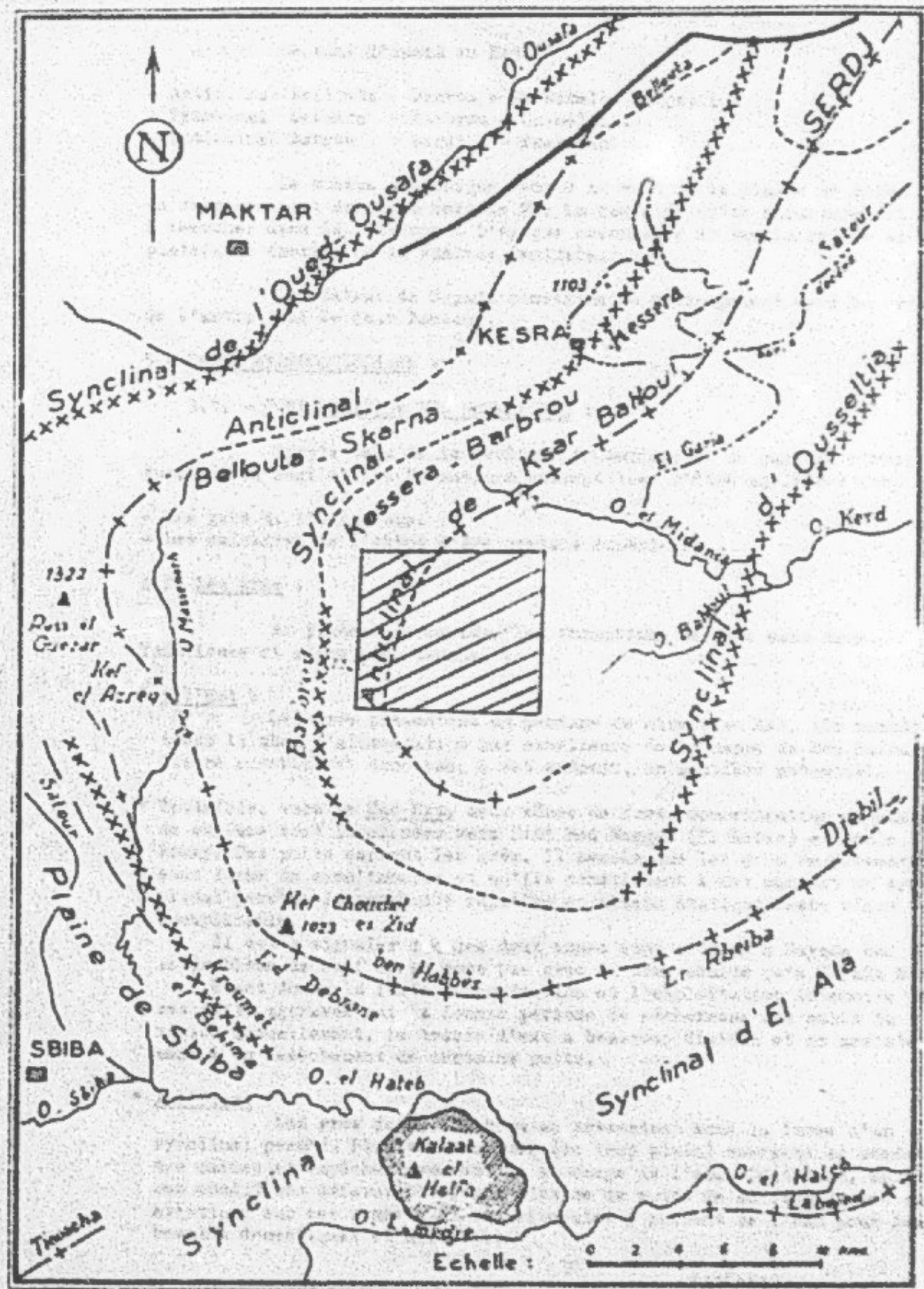


FIG. 5. - Carte géologique du nord de la Koweït (d'après CASTORY - 1951)



Zone d'étude

Ce sont d'Ouest en Est :

- Anticlinal Bellouta - Skarna - Er Rebeiba - Djebil.
- Synclinal Kessera - Kartrou - Goussaltia.
- Anticlinal Bargou - Sardj - Isar Bahoul.

Ce schéma tectonique évoque au Nord de la plaine de Sibba un rebondissement des plis vers le NW. La cause de cette structure est à chercher dans la présence à l'époque secondaire et tertiaire, de la plateforme émergée de la Tunisie Centrale.

Le plateau de Sayada constitue le prolongement vers le Sud de l'anticlinal de Isar Bahoul.

### **5 - CADRE HYDROGEOLOGIQUE :**

#### **5.1. - CONFIGURATION DES RESERVOIRES :**

Compte tenu de la géologie de surface et du paysage structural de la région, les formations susceptibles d'être aquifères sont :

- les grès de l'Oligocène.
- Les calcaires de l'Abiod d'âge crétacé supérieur.

#### **A / Les grès :**

Sur le plateau de Sayada, les formations de grès sont très localisées et assez bien connues :

##### **\* A l'Est :**

Ces grès présentent un pendage de direction Est, ils constituent la base d'alimentation par excellence de la nappe de Bou Hafna. Ils ne constituent donc pas, à cet endroit, un aquifère potentiel.

\* Toutefois, vers le Sud-Est, deux zones de forte concentration de puits de surface sont localisées vers Sidi Mad Megges (El Kebir) et El Oued Roudy. Ces puits captent les grès. Il semble que les grès se présentent sous forme de synclinorium et qu'ils constituent à cet endroit un synclinal perché; la proximité relative du niveau statique reste sinon inexpliquable.

Il est à signaler que ces deux zones sont situées à Sayada Sud où le problème de scif ne se pose pas avec la même acuité qu'à Sayada Nord.

Etant donné la forte concentration et l'exploitation intensive de ces puits aggravée par la longue période de sécheresse que subit la région actuellement, la trame d'eau a beaucoup diminué et on assiste à un assèchement de certaines puits.

##### **\* A l'Ouest :**

Les grès du Dj. Kartrou se présentent sous la forme d'un synclinal perché. Plusieurs sources (de trop plein) émergent au contact des marmites et empêchent souvent le stockage de l'eau. Toutefois, malgré ces conditions défavorables, une dizaine de puits de surface trouve son existence sur ces sommets et les riveraines y puisent de l'eau pour leurs besoins domestiques et agricoles.

### B / les calcaires de l'Abiod :

Les formations de grès étant très facilement repérables à Sayada car ils sont rencontrées en affleurement, les calcaires ont nécessité une étude sommaire par prospection électrique et par sondages de reconnaissance.

#### - Etude par prospection électrique :

##### a / Objectif de la prospection :

La prospection a pour but de suivre en profondeur les niveaux de calcaire Abiod qui affleurent au Nord du plateau de Kef El Abiod à Setaa Regoub, plongent en profondeur à Sayada Nord et réapparaissent en surface au niveau de Bled El Gracous. Pour le faire, trois profils de sondages électriques de direction sensiblement N S ont été exécutés totalisant 10 SE en AB 1500 m.

##### b / Résultats de la prospection :

- Profil 1 (fig 6) : Il montre l'existence en profondeur d'un terrain résistant (sup. à 25 ohm m) et très épais qui se trouve très probablement effondré au niveau du SE 3 et SE 4. Les résistivités peu élevées des terrains supérieurs sont attribuées aux marnes de l'Oocène moyen et supérieur.

- Profil 2 (fig 7) : L'existence des niveaux de calcaire lumachellique a augmenté la résistivité des terrains supérieurs attribuée à l'Oocène moyen et supérieur. Toutefois ce résistant ne peut pas être l'Abiod car le profil passe près de l'axe d'un synclinal et l'Abiod devrait être plus profond que ce niveau supérieur (en l'absence de faille).

- Profil 3 (fig 8) : Il montre l'existence d'une épaisse couche de marnes avec quelques niveaux de calcaires. Cette série est attribuée à la formation Souar présentant une résistivité variant de 4 à 10 ohm m. Le résistant inférieur plonge vers le Sud sous les grès de l'Oligocène.

### 5.2. - RESULTATS DES FORAGES DE RECONNAISSANCE :

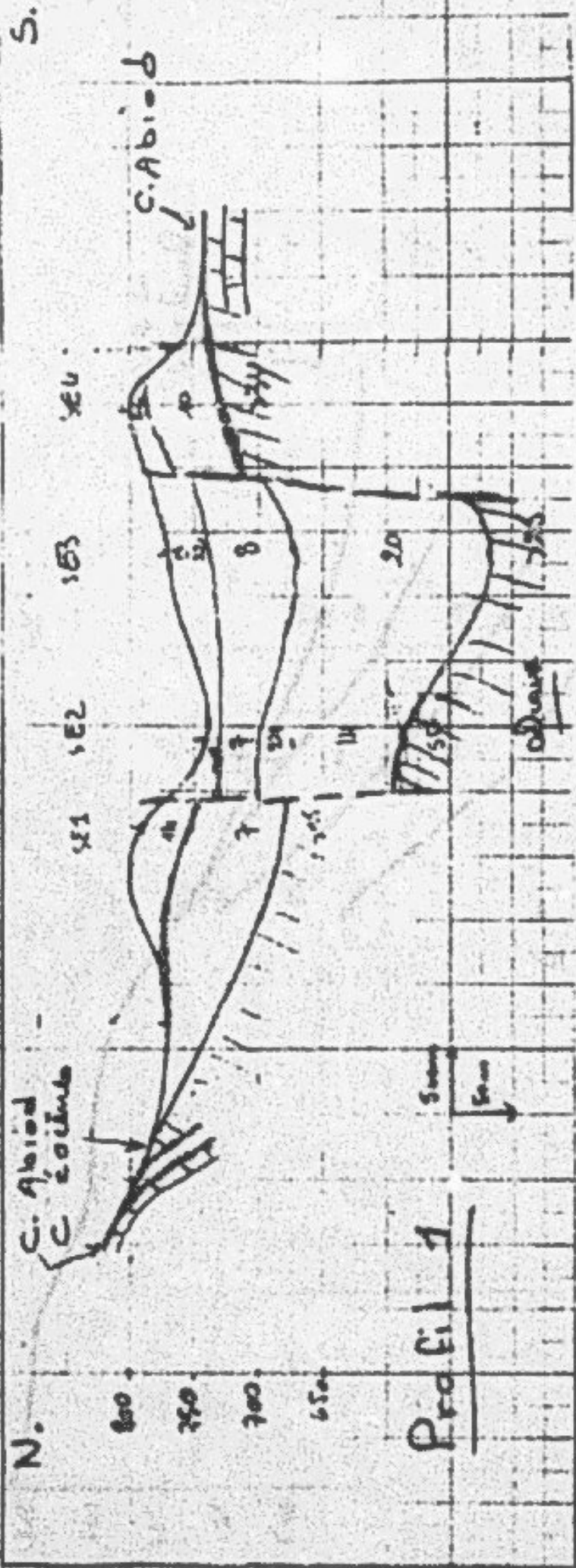
#### 5.2.1. - Le forage Ecole Honky n° IRN 18702/4 :

##### A / Coupe du sondage :

de	0 à	3 m	:	Sable et limon.
de	3 à	7 m	:	Grès plus ou moins marneux.
de	7 à	11 m	:	Sable gréseux.
de	11 à	15 m	:	Marne légèrement grasseuse.
de	15 à	22 m	:	Sable très fin.
de	22 à	24 m	:	Grès légèrement marneux.
de	24 à	27 m	:	Marne grise.
de	27 à	39 m	:	Sable gréseux.
de	39 à	40 m	:	Marne.
de	40 à	64 m	:	Sable gréseux.
de	64 à	69 m	:	Marne grise compacte.

FIG. 6

COURS CHRONOLOGIQUE (Plateau de Sayada Nord)  
(d'après A. SEUL, 1988)



COUPE GÉOLOGIQUE

(Plateau de Sayada Kech)  
d'après A. SENSI, 1968)

FIGURE 2

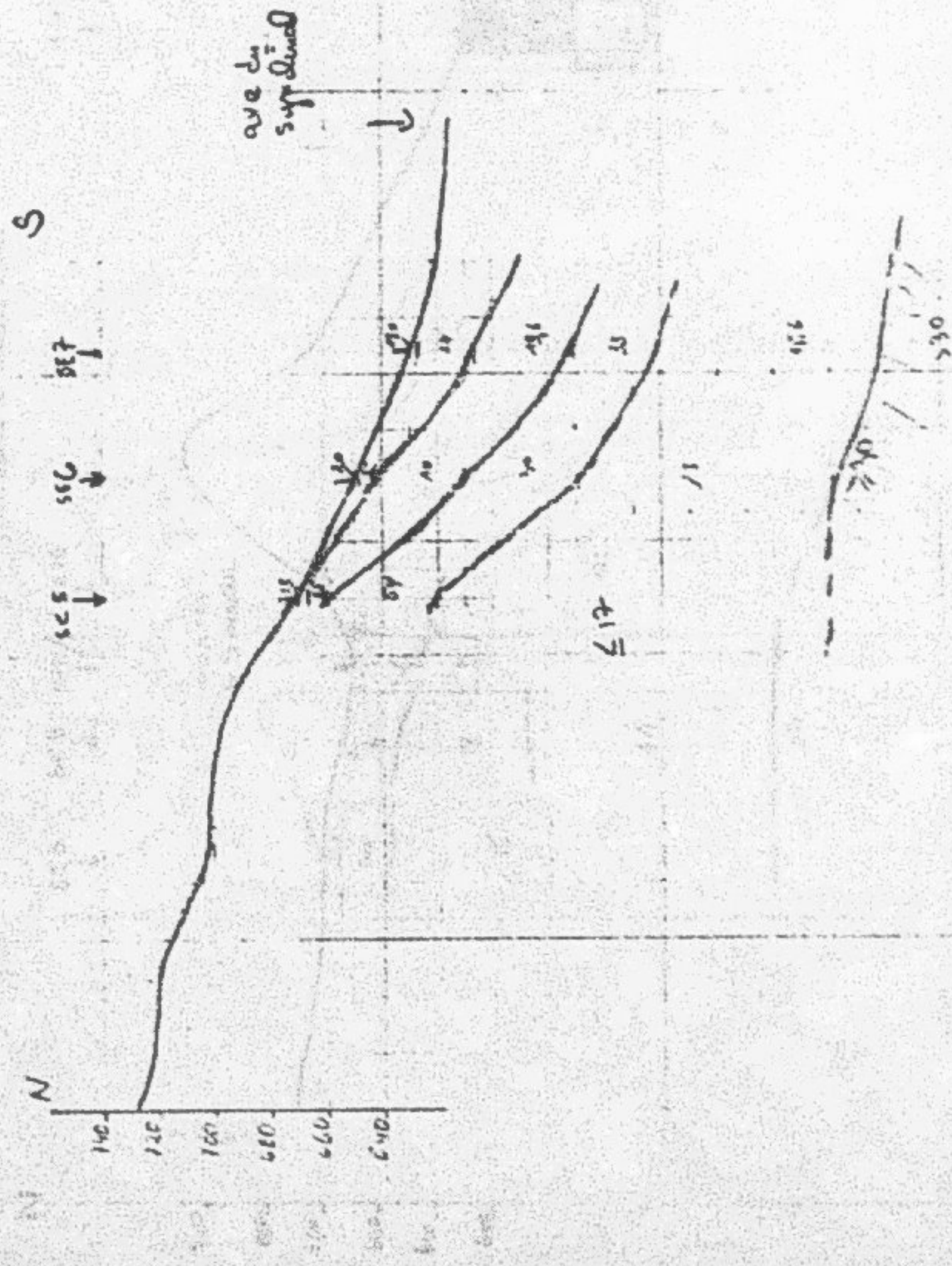


FIG. 1

CHAMP MAGNETIQUE

(Plateau de Sayada Nord)  
(d'après A. SELL, 1988)

profil 3

550 500 450 400 350

1000 900 800 700 600 500

C

11-102/1

N

Montagne  
du Sbucan

plateau d'oligocène



PL. 8

Ces couches sont attribuées à l'Oligocène inférieur (OL1)

### B / Captage 1

Ce forage a été alésé en 9<sup>7</sup>/<sub>8</sub> jusqu'à 69 m et capté comme suit :

de + 0,5 à - 41 m : Tube plein en PVC 5"  
de - 41 à - 62,5 m : Crête en PVC 5" (0,75 m)  
de - 62,5 à - 68,5 m : Décantation en PVC 5"

### C / Analyses chimiques complètes :

$P^H = 8,4$        $C = 4,24 \text{ mmho/cm}$        $\text{R.S à } 110^\circ\text{C} = 2972 \text{ mg/l}$   
 $\text{Ca}^{++} = 488 \text{ mg/l}$        $\text{Mg}^{++} = 398,4 \text{ mg/l}$        $\text{Cl}^- = 947,8 \text{ mg/l}$   
 $\text{HCO}_3^- = 134,8 \text{ mg/l}$        $\text{NO}_3^- = 12,4 \text{ mg/l}$ .

Ce forage présente un N.S = - 13,4 m, il est équipé en pompe manuelle débitant 0,28 l/s.

La forte concentration relative dans ces grès est due à la présence de marnes.

Ce forage prouve bien que les possibilités en eau de ces grès sont faibles et qu'ils ne supportent pas une exploitation intense.

### 5.2.2. - Le sondage d'au Gouaou 2 N° IRR 16756/4 :

#### A/ Coupe du sondage 1

de 0 à 6 m : Sable très fin.  
 de 6 à 8 m : Sable très fin et tuf.  
 de 8 à 12 m : Sable très fin et marnes grises.  
 de 12 à 21 m : Sable fin légèrement argileux avec traces de marnes grises et de tuf.  
 de 21 à 28 m : Argile sablonneuse avec traces de tuf.  
 de 28 à 75 m : Grès dur.  
 de 75 à 87 m : Marnes grises.

Ces couches sont attribuées à l'Oligocène inférieur.

#### B/ Test de pompe 1

Effectué le 4.5.66 à l'aide d'une soupape 4" et une colonne lisse # 5" formée de :

Tube plein en PVC	de + 0,5	à	- 45 m
Tube lanterné en PVC	de - 45	à	- 75 m
Tube de décantation en PVC	de - 75	à	- 81 m

#### C / Analyses

Ce sondage présente une N.S = - 22,0 m et débitant 0,28 l/s. Il a été réalisé au moyen d'un puits.

Après lavage à l'eau claire, une partie de la colonne d'eau a été soufflée et l'autre a été absorbée par le forage qui s'est trouvé à sec à la fin du test (absence de niveau).

#### C / Remarque :

Les grès captés par le forage sont secs. Ainsi toute la colonne a été extraite et le forage fut abandonné.

#### 5.2.3. - Le sondage d'El Gouscen 1 n° IPH 18711 / 4 :

##### A / Coupe du sondage :

de 0	à	2	m	:	Terre végétale sablonneuse.
de 2	à	5	m	:	Grès calcaire.
de 5	à	33	m	:	Marne grise.
de 33	à	36	m	:	Calcaire grisâtre.
de 36	à	37	m	:	Calcaire marnoux fissuré avec des gravillons en calcite.
de 37	à	67	m	:	Marne grise.

Ces couches sont attribuées à l'Eocène moy/sup non différencié (Formation Souar).

#### B / Remarque :

Il est à signaler qu'aucune perte de boue n'a été observée. Le forage a été abandonné suite à sa stérilité manifestée par l'absence de niveau même après lavage à l'eau claire.

#### 5.2.4. - Le forage El Ghribat 1 n° IPH 18712 / 4 :

##### A / Coupe du sondage :

Eocène moy/sup.	{	0 - 3 m	:	Argile
		3 - 5 m	:	Grès calcaire.
Abiot	{	5 - 23 m	:	Calcaire dur.
		23 - 52,5 m	:	Calcaire plus ou moins fissuré avec présence de calcite.

Une perte totale enregistrée à cette côte a empêché la poursuite de la reconnaissance.

##### B / Analyse chimique complète :

$$\begin{array}{lll} \text{pH} = 8,1 & \text{Conductivité à } 25^\circ\text{C} = 3,78 \text{ mho/cm} & \text{R.S à } 110^\circ\text{C} = 2649 \text{ mg/l} \\ \text{Ca}^{++} = 348 \text{ mg/l} & \text{Mg}^{++} = 144 \text{ mg/l} & \\ \text{Cl}^- = 353,7 \text{ mg/l} & \text{HCO}_3^- = 251,6 \text{ mg/l} & \text{NO}_3^- = 3,4 \text{ mg/l.} \end{array}$$

#### C / Remarque :

Ce forage présente un H.S = - 41,2 m et fournit un débit de 0,08 l/s. Il a été équipé en pompe manuelle.

5.2.5. - Le forage El Gharaba 2 N° IBB 19747 / 4 :A/ Coupe du sondage :

SOCAR	{	0 - 1 m : Terre végétale.
		1 - 5 m : Encroûtement calcaire.
ASHOD	{	3 - 17 m : Calcaire brun.
		17 - 72 m : Calcaire dur.
		72 - 98 m : Calcaire brun.
		98 - 120 m : Calcaire marnaceux.
	{	120 - 138 m : Marno-calcaire.
		138 - 150 m : Marnes grises plastiques.

B/ Résumé :

Le sondage d'El Gharaba 1 a montré que les calcaires de l'Ashod sont aquifères. Cette observation, liée à la prospection électrique effectuée dans la région, nous a poussé à programmer ce sondage I.R.S. situé à 300 m au Sud (aval) du premier et qui pourrait atteindre le mur de la couche calcaire.

Malheureusement aucune partie n'a été signalée, les calcaires étaient donc stériles et le trou fut alors abandonné.

5.3. - LES PUITS DE SURFACE ET LES SOURCES : (Planche 3)

Une multitude de sources sort à partir des affleurements qu'ils soient calcaires ou gréseux ou à partir des alluvions des cañons qui drainent les reliefs de Sayada.

Malheureusement et dans la plupart des cas, les eaux issues de ces formations sont salées et de mauvaise qualité chimique, qui est de nature à favoriser leur abandon.

Cette salure provient du gypse qui renferment en général les assises apparentées à l'Éocène moyen.

5.3.1. - Interprétation de la carte de saïnitité : (Planche 4)Zone de saïnitité inférieure à 2 g/l 1

Elle est très limitée à Sayada Nord, la presque totalité appartient à Sayada Sud. Cette faible minéralisation est liée à deux facteurs :

- Un facteur lithologique : Cette eau provient des sources qui émergent au contact des grès avec les marnes.
- Un facteur climatique : Ces sources sont temporaires, elles sont fortement liées à la pluviométrie dont l'absence engendre un débit négligable (suintement).

.../...

Zone de salinité comprise entre 2 et 3 g/l :

Elle comprend les régions de Sidi Mohamed Beggan à Sayada Sud et Bir Ali Bou Toual à Sayada Nord qui est très sollicitée en été, ce qui peut engendrer un abaissement notable du plan d'eau dans ce puits et un appel d'eau chargée pendant la période sèche.

Zone de salinité supérieur à 3 g/l :

C'est la zone la plus étendue, elle est liée à la vaste étendue des affleurements marno-calcaires de l'Éocène moyen et supérieur. Après lessivage de ces marnes, l'eau se charge en sel et s'enrichit en sulfates. Ce qui transforme l'eau de ruissellement en une eau sulfatée sodique et calcique en général.

5.3.2. - Remarque :

Cette carte de calinité n'est pas à considérer dans l'absolu. En effet, la salinité varie d'une saison à une autre et en régime non soutenu, on observe une salinisation des puits provoquée d'une part par l'évaporation et d'autre part, le stockage de l'eau se fait dans un réservoir de grès ou de calcaire marnous.

Cette situation favorise l'abandon de ces puits et accentue le problème de scif à Sayada Nord en période estivale.

5.3.3. - Analyse chimique complète :

Le cas le plus répandu à Sayada Nord ce sont les puits et les sources qui captent les marno-calcaires. C'est pour cela que l'on s'est limité à un exemple de chaque. La source n'est donnée qu'à titre indicatif car elle est temporaire et ne coule pas en été. Les caractéristiques physico-chimiques de l'eau sont à extraire du puits de surface N° 3648, le seul équipé de la région et qui est bien utilisé pour des fins agricoles.

.../...

Point d'eau	Puits équipé n° 8648 : Source O. Bayoud (Salah El Arraki),	N° 8649	
Date de prélèvement	21.04.87	21.04.87	
$P^H$	7,4	7,2	
Cond° à 25°C en mmho/cm	4,36	4,02	
R.S à 110°C en mg/l	4080	3833	
Unité de mesure	mg/l	mè/l	mg/l
Ca <sup>++</sup>	340,0	17	356,0
Mg <sup>++</sup>	216,0	16	192,0
Na <sup>+</sup>	506,0	22	448,5
K <sup>+</sup>	17,16	0,44	7,41
SO <sub>4</sub> <sup>2-</sup>	2544,0	53	2400,0
Cl <sup>-</sup>	191,7	5,4	170,4
HCO <sub>3</sub> <sup>-</sup>	183,0	3	210,8
NO <sub>3</sub> <sup>-</sup>	8,68	0,14	0,0

On remarque (fig 9) que ces eaux sont sulfatées sodiques et calciques.

#### 5.3.4. - Caractéristiques physico-chimiques de l'eau :

##### A / litrage hydrogénique :

$$T.H = (x \text{ Ca} + x \text{ Mg}) \times 5$$

T.H en degré Français (°F)

xCa et xMg en mè/l ( $1 \text{ mè/l} = 5^\circ\text{F}$ )

soit : T.H = 175°F

C'est une eau très dure, elle est impropre à la consommation d'après l'échelle française suivante :

d°F	0 - 5	5 - 15	15 - 30	30
Eau	très douce	douce	dure	très dure.

##### B / Risque lié aux Bicarbonates :

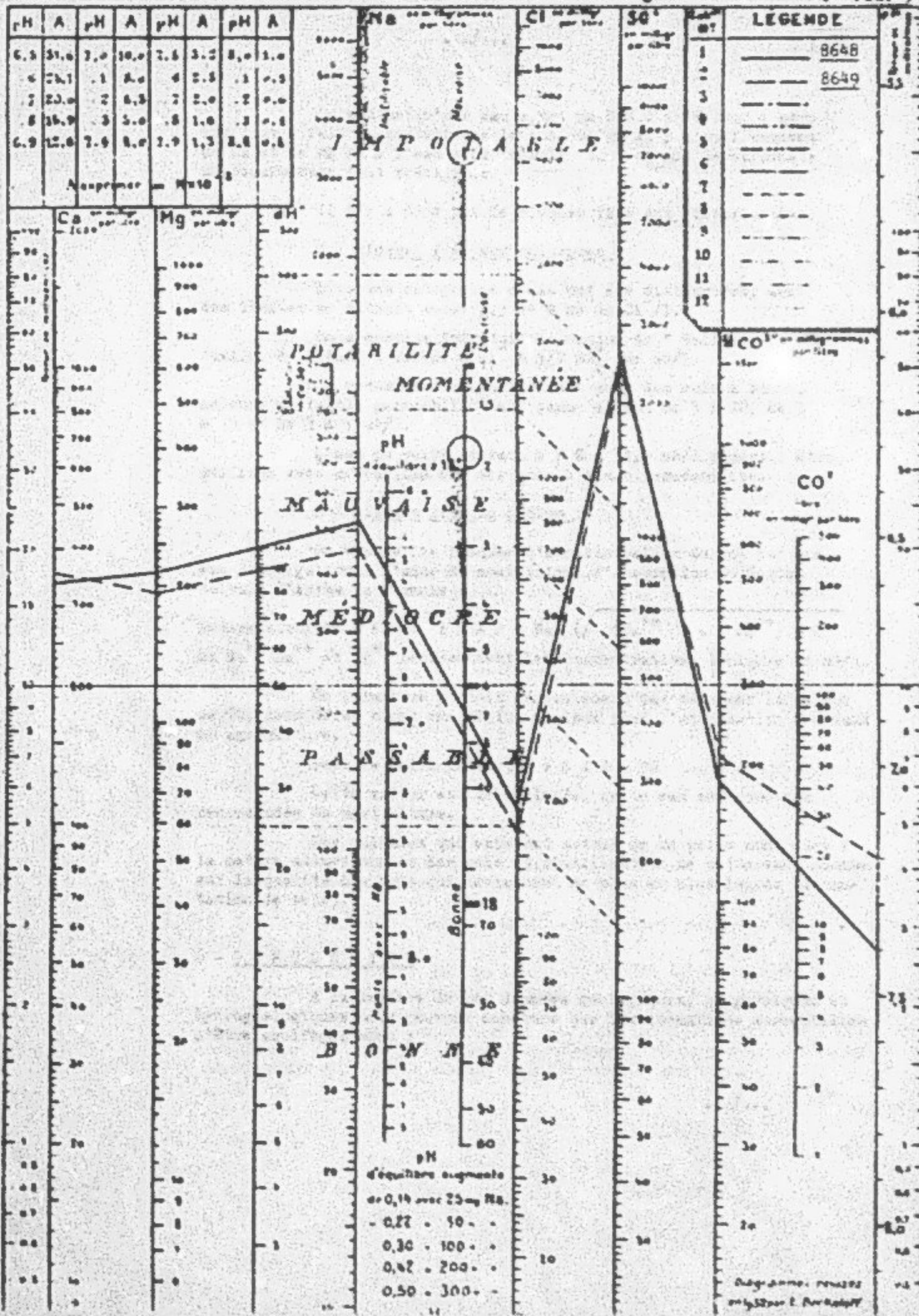
Ce risque est donné par la teneur " carbonate de sodium résiduel "

$$RBC = (\text{CO}_3^{2-} + \text{HCO}_3^-) - (\text{Ca}^{++} + \text{Mg}^{++}) = 32 \text{ mè/l.}$$

La concentration de tous les ions est exprimée en mè/l.

# DIAGRAMMES LOGARITHMIQUES

S FIG. 9



On estime qu'une eau ayant un R.S.C inférieur à zéro est tout à fait souhaitable, elle indique qu'il y a suffisement de Ca et de Mg dans l'eau pour fournir tout ce que le carbonate ou bicarbonate peut précipiter.

Il n'y a donc pas de risques liés aux bicarbonates.

#### C / Risques liés aux chlorures :

Diverses catégories d'eau ont été distinguées, avec des limites se situant entre 2,5 et 8 mè de Cl<sup>-</sup>/l.

On a ensuite introduit la notion de " Salinité Potentielle de l'Eau" : S.P.E. = Cl<sup>-</sup> + 1/2 SO<sub>4</sub><sup>2-</sup> en mè/l.

On a recommandé respectivement pour des sols à bonne, moyenne et faible perméabilité une gamme allant de 5 à 20, de 3 à 15 et de 3 à 7 mè/l.

L'eau du puits titrant S.P.E = 31,9 mè/l pourrait être utilisée avec précaution sur des sols à bonne perméabilité.

#### D / Risques liés au Sodium :

On évalue les risques d'alcalinisation du sol par une eau d'irrigation à l'aide du coefficient d'absorption du Sodium calculé d'après la formule :

Sodium Absorption Ratio : S.A.R = Na<sup>+</sup> (Ca<sup>++</sup> + Mg<sup>++</sup>) / 2  
où Na<sup>+</sup>, Ca<sup>++</sup> et Mg<sup>++</sup> représentent les concentrations ioniques en mè/l.

Ce paramètre ne doit généralement pas dépasser la valeur de 10, considérée comme une limite maximum pour l'utilisation des eaux en agriculture.

Pour le puits considéré : S.A.R = 92

Cette valeur est très élevée, cette eau est donc non recommandée en agriculture.

Les cultures qui existent autour de ce puits sont dues à la nature alluvionnaire des sols et l'utilisation de cette eau incombe sur la qualité des sols qui deviennent de plus en plus lourds (décarbonatation de sols).

### 6 - CONCLUSION :

A la lumière de ces données géologiques, géophysiques et hydrogéologiques nous pouvons conclure que les formations susceptibles d'être aquifères sont :

- Les grès de Dj. Barbrou : Ils se présentent en synclinal perché dont les ressources ne peuvent être que d'un intérêt local et ne peuvent donc pas faire l'objet d'une exploitation supplémentaire.
- Les grès au Sud Est du plateau :
  - . Le forage d'El Gouacem 2 N° IRH 18756 a montré qu'ils étaient stériles à Sayada Nord.
  - . Le forage de l'école Rouky N° IRH 18702 a prouvé que les ressources en eau de cette formation sont faibles et leur exploitation ne peut être que locale.
- Les calcaires de l'Eocène inférieur qui affleurent tout le long de limite Nord du plateau de Sayada.
- Au Sud du plateau, seuls les calcaires de l'Abiod peuvent présenter un intérêt hydrogéologique.

Mais quand on a affaire à des structures calcaires dans des régions où l'alimentation par la pluviométrie est faible, les forages gagneraient à être implantés à proximité des affleurements, surtout lorsque la fracturation et la karatification des calcaires ne sont pas développées, comme c'est le cas à Sayada.

L'étude de la fracturation et de la karatification de ces calcaires à partir de la géophysique au niveau de Bled El Graoua gagnerait à être réalisée.

Toutefois le problème de soif à Sayada Nord reste encore insoluble et même dans le cas où ces calcaires qu'ils soient au Nord ou au Sud du plateau sont aquifères, le problème serait de transporter l'eau sur une longueur de 5 à 6 Km à travers une région topographiquement haute et accidentée.

Nous avons retenu pour le plateau de Sayada, les caractéristiques suivantes :

- apport moyen annuel (pluie) :	$39,30 \cdot 10^6$	$m^3/an$
- volume total évaporé	$36,0 \cdot 10^6$	$m^3/an$
- volume total ruisseau	$2,0 \cdot 10^6$	$m^3/an$
- infiltration efficace	$1,3 \cdot 10^6$	$m^3/an$

Le taux d'infiltration ne représente que 3,2 % de la pluviométrie.

L'étude de la fracturation et de la karatification à entreprendre éventuellement ne serait que d'un intérêt très local car les calcaires ne sont pas bien alimentés. On devrait s'attendre aussi à une mauvaise potabilité de ces eaux car elles traversent sur une longue distance les affleurements marneux et en ruisseant dessus se chargent en sels (sulfates) avant d'aboutir aux calcaires.

#### L'HYDROGÉOLOGIE

A. KALLELI

## BIBLIOGRAPHIE SOMMAIRE

- 1 - CASTANY G. (1951) : Etude géologique de l'Atlas Tunisien oriental. Annales des mines et de la géologie N° 8.
- 2 - CHORBEL A. (1979) : Méthode d'évaluation du ruissellement en Tunisie : bassins versant de la dorsale et de la Tunisie Centrale. DRE - Juin 1979.
- 3 - HAMZA M. (1976) : Contribution à l'étude hydrogéologique du synclinal d'Aïn Beïdha. Thèse de 3<sup>e</sup> cycle - Paris VI - 1976 -.
- 4 - HAMZA M. (1979) : Alimentation en eau potable d'Aïn Sayada Délégation d'El Ala. - DRE - Mai 1979
- 5 - HAMZA M. (1982) : Ressources en eau de la délégation d'El Ala DRE - Janvier 1982
- 6 - HAMZA M. (1987) : Etude des formations hydrogéologiques de Bled Jloula. DGRE - Août 1987.
- 7 - KALLALI A.  
CHARBI A. (1987) : Compte rendu de fin de travaux du forage El Gouacem 1 n° 18711/4 - DRE - Juillet 1987.
- 8 - KALLALI A.  
BEJI R. (1986) : Compte rendu de fin de travaux des forages El Gouacem 2 et El Gouacem 3 - DRE Juil. 1986
- 9 - SEHLI A. (1988) : Résultats de la prospection électrique préliminaire effectuée dans le plateau de Sayada Nord (Délégation d'El Ala).

-F1- ANNEXES

**INVENTAIRE DES PUILS D'EAU**

H : H.D.J du puits.  
 P : Profondeur totale  
 h : Tranche d'eau  
 d : Diabète  
 m : Margeole.

**LEILA 1 GAYADA NORD**

Dénomination	Coordonnées géographiques	Classification du puits				H.S. (m)	Observations
		h*	b(h)	h(h)	IP (m)		
Allous Touali							
Puit Lardj Ben Yalh (Sader n° 2)	59 64 57 - 7 73 00	70,9	110,2	0,1	110,3	14,05	0,4 2,75 Puits public.
Puit El Sader E°	59 63 70 - 7 73 00	70,7	17	0,1	7,1	11,5	0,5 3,7
Puit Hir Bayoud	59 64 00 - 7 73 10	710,6	9,6	0,9	10,5	12,0	0,0 4,2
Salean J. Mohamed Arraki	59 61 60 - 7 76 95	70,5	10	2,2	12,5	12,5	0,0 6,0 Abandonné.
source Ali Amara	59 60 96 - 7 77 40	66,40	1,2,2	1,3,4	8,6	12,0	0,4 4,08 Equipé.
Hir Aïn Akara	59 62 41 - 7 62 50	66,7,2	-	-	-	-	-
Puit Saledj b. Ali Layeti	59 62 24 - 7 62 25	66,5,1	-	-	-	-	11,3
source Aïn El Kéfia	59 62 17 - 7 62 10	66,5,9	110,27	0,65	10,9	13,5	- A sec.
Puite Ali et Galah Chihouli	59 63 10 - 7 62 60	66,2,9	-	-	-	-	- Abandonné.
Puite Ammar b. Ahmed b. Amar	59 63 02 - 7 62 46	66,5,6	1,9	0,2	2,1	12,2	- A sec.
Puite dir El Mandjel	59 63 60 - 7 79 20	66,7,7	-	-	-	-	14,04 Abandonné.
Puite n° 1 Mouldi B. Red Touali	59 63 60 - 7 83 40	66,20	-	-	-	-	- Comblé.
Aïn El Lhithessa	59 64 78 - 7 84 60	66,5,9	-	-	-	-	- Comblé.
Puite n° 2 Mouldi Touali	59 64 60 - 7 84 42	66,60	-	-	-	-	- Comblé.
Aïn Hayoudh E° 1	59 60 94 - 7 77 52	66,49	-	-	-	-	- Comblé.
Aïn Hayoudh n° 2	59 61 00 - 7 77 26	66,20	-	-	-	-	- Comblé.
Lie Tayed	59 62 42 - 7 64 86	66,61	-	-	-	-	- Comblé.
Aïn Lassoud	59 62 35 - 7 75 05	66,6	-	-	-	-	- Comblé.
source	59 62 72 - 7 75 12	66,67	-	-	-	-	- A sec.
Aïn bakkia El Mousour	59 63 63 - 7 74 62	66,61	-	-	-	-	- A sec.
Eloual Kraouia	59 63 40 - 7 74 80	66,59	-	-	-	-	- A sec.
Hassui Tabaaoui	59 63 40 - 7 74 95	66,40	-	-	-	-	- A sec.
Aïn El Guettar	59 63 40 - 7 74 60	66,41	-	-	-	-	- A sec.
O. Beyoudh du lieu dit Sfaket Kouin	59 61 55 - 7 77 60	66,42	-	-	-	-	- A sec.

.../...

INVESTIGATION DES POINTS D'EAU

TABLEAU 4. SÉTALIA RUBRA (var.)

N°	Localisation	Coordonnées		N° BIH	Coordonnées du point d'eau		N° E. (S/T) (A/I)	Observation
		Longitude	Latitude		Longitude	Latitude		
46	Ain Habibat	39 62 17 - 7 70 00	39 64 53	3,7	3,74	3,6	1,00	Captée sous forme de poche.
47	Ouest Bouzid au niveau des habitations	39 62 00 - 7 70 00	39 64	-	-	-	-	A sec.
48	Ain Zeboud	39 62 00 - 7 70 17	39 64	-	-	-	-	A sec.
49	Innawat Beni O. Maynat	39 60 00 - 7 70 17	39 64	-	-	-	-	A sec.
50	Ain Beni Lekhoud	39 60 25 - 7 70 18	39 64	-	-	-	-	A sec.
51	Innawat Ouest Bouzid	39 60 77 - 7 70 23	39 64	-	-	-	-	A sec.
52	Hassai N° 1 Ouest Soukaine	39 59 00 - 7 70 26	39 64	0,4	0,1	0,3	0,6	A sec.
53	Hassai N° 2 Ouest Soukaine	39 59 40 - 7 70 60	39 64	-	-	-	10,6	U. B. A.
54	Ain Abessia	39 64 62 - 7 70 15	39 64	-	-	-	-	A sec.
55	Hassai N° 1 Ouest Cheria	39 66 79 - 7 70 40	39 64	2,0	0,6	2,3	0,0	Source captée.
56	Ouest Cheria (près le village)	39 67 05 - 7 70 12	39 64	0,7	0,0	0,7	0,4	-
57	Hassai N° 2 Ouest Cheria	39 67 00 - 7 70 00	39 64	-	-	-	-	-
58	Bir Kralien	39 69 01 - 7 72 22	39 64	10,66	1,04	11,6	2,0	Captée sous forme de réservoir.
59	Bir Elhira	39 69 00 - 7 72 22	39 64	7	0,4	7,4	0,9	Abandonné.
60	Innawat Ouest El Herra	39 62 20 - 7 82 20	39 64	-	-	-	-	Abandonné.
61	Puits Ain El Herra	39 62 65 - 7 82 20	39 64	-	-	-	-	A sec.
62	Bir Bir Al Guessas	39 66 75 - 7 75 20	39 64	6	0,3	6,3	2	Abandonné.
63	El Aïai B. Amor Messouli	39 64 20 - 7 70 25	39 64	6,7	1,6	6,3	2,5	Camblé.
64	El Aïai B. Amor Messouli	39 64 20 - 7 70 25	39 64	-	-	-	-	U. D. A.

\*\*\*/\*\*\*

Inventaire des points d'eau

Tableau 1 - Sawaia Nord (suite)

N°	Dénomination	Coordonnées	N° MIUH	Caractéristiques du pointeau			N.S.	Observation
				H (m)	h (m)	(m/s)		
<u>Nouvelles routes :</u>								
1	M'd. Fredj B. Abor Chagra	39 60 10 - 7 78 10	4/61	0,1	2,5	10,4	1 0,0	0,0 Abandonné.
2	M'dbarek B. Abdellatif	39 64 00 - 7 79 00	5/61	7,44	1,06	9,3	1 2,5 1 0,4	4,45
3	Bir El Guessem	39 60 90 - 7 75 90	6/61	10,4	1,6	20,0	1 3	0,5 1 4,55 U.D.A.
4	M'hamed Hedi Messaoui	39 66 40 - 7 82 50	7/61	6,7	4,6	11,2	1 3	0,3 1 2,77 U.D.A.
5	Harrouane B. Mohamed Cassoual	39 66 30 - 7 82 15	8/61	6,3	1,3	7,6	1 3	0,0 1 2,77 U.D.A.
6	Kl Arbi B. Ned Salah Messaoui	39 66 00 - 7 82 10	9/61	6,3	0,3	6,6	1 3	0,0 1 2,77 U.D.A.
							1	

.../...

**INVENTAIRE DES POINTS D'EAU**

Izda : SAYADA SUD

N°	Désignation	Coordonnées		N° : Caractéristiques des points		R.S. (m)	Observations
		BdK	1H (m)	sh (m)	IP (m)		
<b>Abordage suite :</b>							
1 : Ain Behla		39 58 50 - 7 82 70	1656	5,4	0,2	5,6	2,7
2 : Sources El Bahr		39 60 05 - 7 78 72	7095	-	-	-	4,6
3 : Source Ain El Melaha		39 60 00 - 7 81 00	7148	-	-	-	4 sec.
4 : Sources Ain Sayada		39 58 75 - 7 85 09	0563	-	-	-	0,6
5 : Puits Samet Djessas		39 60 72 - 7 83 42	0364	-	-	-	0,6
6 : Ain Kraydia		39 60 75 - 7 80 70	0565	6	0,1	6,1	1 sec.
7 : Abdessalem B. Belgacem Jaber		39 65 16 - 7 81 10	0366	17,5	0,8	16,3	0,85 U.D.A.
8 : Ain Mealla		39 58 48 - 7 80 19	0633	2,6	1,35	3,95	3,01 0,0 5,69 Irrigation.
9 : Ain Khorfia		39 57 80 - 7 79 05	0634	-	-	-	1,9
10 : Puits H'Hamid El Ayari		39 57 97 - 7 78 95	0635	3,6	1,05	4,65	3,0 0,1
11 : Ain El Ray		39 59 20 - 7 78 65	0636	-	-	-	6,16
12 : Puits Bachir B. Ghedli		39 58 60 - 7 81 85	0637	-	-	-	2,24
13 : Ain Ghanobana		39 58 52 - 7 82 00	0638	5,0	0,35	6,15	2,7
14 : Puits Ali B. Mad Bou Afia		39 59 28 - 7 80 74	0639	3,7	0	3,7	U.D.A.
15 : Source Ain El Kartas		39 59 00 - 7 81 00	0640	-	-	-	4 sec.
16 : Puits romain Mad El Padhl		39 57 80 - 7 82 32	0641	4,59	0,71	5,1	1 sec.
17 : Hassen B. Abdellatif El		39 57 65 - 7 82 20	0642	50,9	0,5	51,4	2,72
18 : Aissa B. Hassen Ghadli		39 57 80 - 7 82 40	0643	5,4	0,9	6,3	0,4 3,07 U.D.A.
19 : Ain Berka		39 57 80 - 7 81 50	0644	-	-	-	0,0 2,97 Abandonné.
20 : Ain Maceur		39 58 02 - 7 79 61	0645	-	-	-	1,05
21 : Ain Melah		39 58 23 - 7 79 30	9054	-	-	-	1 sec.
22 : Ain El Gattar		39 58 30 - 7 79 70	9055	-	-	-	1 sec.
23 : Ain Oulel M'darek		39 58 51 - 7 80 60	9056	2,5	5,05	5,35	3,0 1 sec.
24 : Mohamed B. Ahmed Kraidi		39 59 75 - 7 88 45	9057	15,3	1,0	14,3	0,4 2,7 Equipe d'un G.P.
25 : Puits Bachir B. Othman		39 59 65 - 7 82 05	15930	17,7	0,3	16,0	2,1 3,2
26 : Mohamed Ahmed		39 59 75 - 7 80 25	15931	-	-	-	1 sec. Comblé.

.../...

Inventaire des points d'eau

Ladda 1 - Sidioune Sidi (suite)

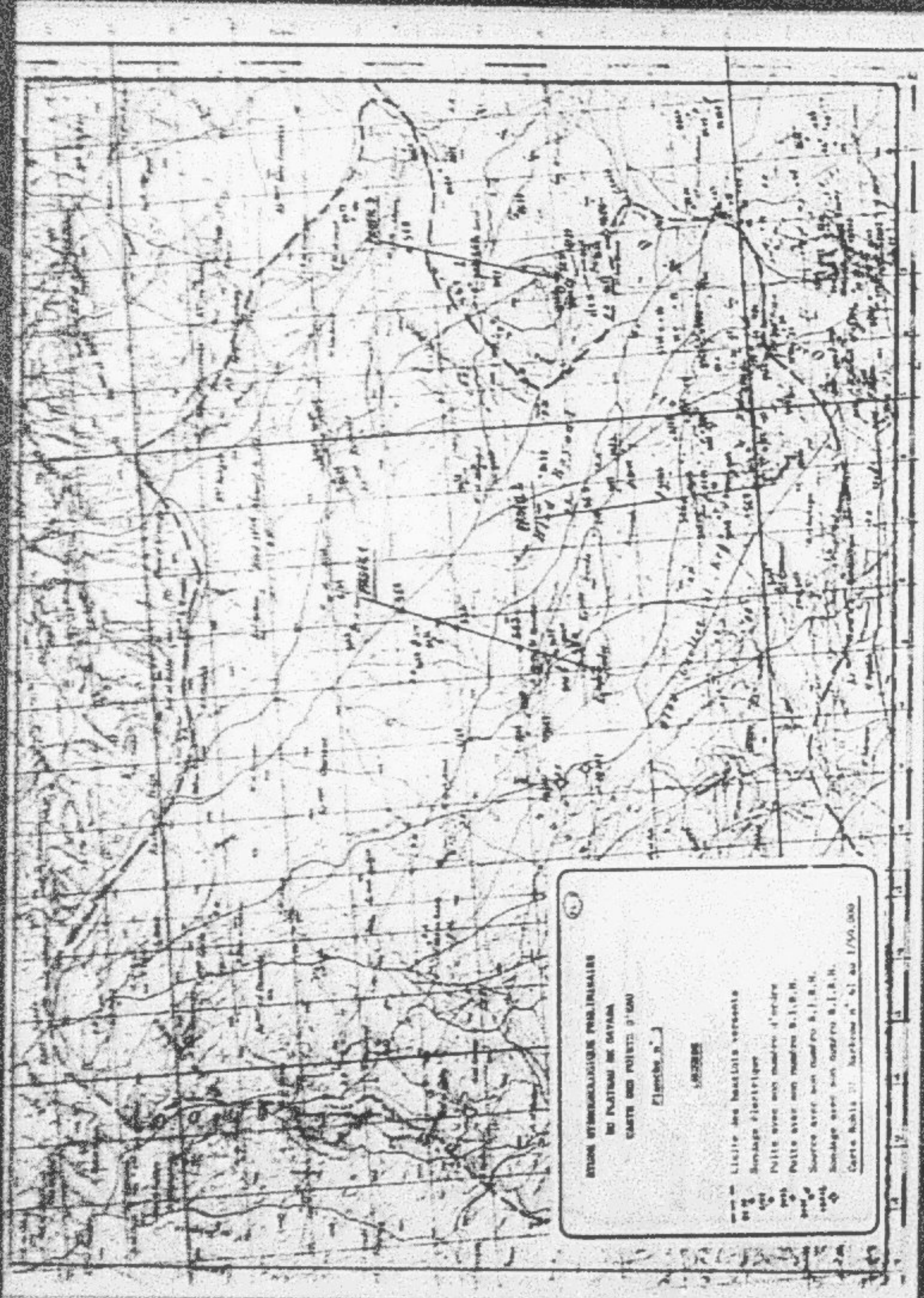
N°	Dénomination	Coordonnées		N° BITH	Caractéristiques du point				N° ID (E/F)	Observations
		Geogr.	Astronomique		H (m)	Ih (m)	id (P)	id (Q)		
27	Ali Chachebara	39 58 60	- 7 82 10	1 15932	-	-	-	-	-	-
28	Hocine B. Ali Ghedifli	39 57 70	- 7 82 20	1 15933	7,3	3,5	10,6	3	0,0	5,511 Abandonné.
29	H'barek B. Ali B. Selah Ghedifli	39 59 00	- 7 81 50	1 15934	6	1,5	7,5	2,5	-	3,843 U. D. A.
	Sourateaux pointe 1									
1	Mellifa B. Ali B. Talab	39 61 10	- 7 79 00	1 / 611	-	-	-	-	0,0	-
2	Hédi B. Amor B. Arbi	39 61 20	- 7 79 00	2 / 611	-	-	-	-	0,0	-
3	Hassan B. Mousse Labilli	39 60 60	- 7 76 70	3 / 611	7,1	0,9	10,6	4	-	Un cours.
4	Kédd. Abdessalem Jaber	39 61 70	- 7 81 15	10 / 611	42,7	1,3	44	3	0,4	3,021 Abandonné.
5	Ali B. Med Kraydi	39 61 20	- 7 81 05	11 / 611	18,6	1,0	19,8	5,5	0,4	1,170, U. b. a.
6	Mazzar B. Ahmed Touati	39 61 40	- 7 81 30	12 / 611	13,4	0,4	13,6	3	0,3	4,621 Equipment d'un gpp LY.
7	Kahsoud B. Amor B. M'harka	39 61 15	- 7 81 20	13 / 611	21,5	0,3	21,6	1,5	0,5	16,9 3,631 U. D. A.
8	Abdesl H. Ali B. M'harek Ghedifli	39 60 00	- 7 83 20	14 / 611	15,2	0,0	15,2	1,5	0,0	1,1253 Lyatet 10 CV.
9	Héhrez B. Ali B. Mohamed Kroudi	39 61 10	- 7 83 15	15 / 611	-	-	37,0	1,5	0,0	5,661 U. D. à peine atteint
10	Med H. Aliya B. Ahmed Ghedifli	39 59 95	- 7 83 10	16 / 611	24,4	0,9	25,3	1,5	0,2	-
11	Abbad B. Med M'harek Ghedifli	39 59 70	- 7 82 90	17 / 611	31,9	0,2	32,0	4,6	0,4	0,791 Un cours.
12	Kaleoud H. Ali Ghedifli	39 60 05	- 7 83 40	18 / 611	15,0	1,1	16,9	3	0,0	4,421 Un cours.
13	H'barek H. Med B. Ali Ghedifli	39 59 95	- 7 83 50	19 / 611	-	-	2,0	-	0,2	1,0 1 Hatz 10 CV.
14	Héhrez B. Abdelfahidli	39 57 50	- 7 82 40	20 / 611	32,7	0,3	35,0	3	0,0	2,771 Hatz 10 CV.
15	Hafisoud B. Amara B. Zalew Jemaa	39 57 70	- 7 82 50	21 / 611	27	1,3	26,5	3	0,0	1,123 Hatz 10 CV.
16	Abdellaziz B. Ali B. M'harek Ghedifli	39 60 35	- 7 83 40	22 / 611	-	-	14	-	-	en cours.
17	Hassine B. Ali Ghedifli et ses frères	39 60 55	- 7 83 45	23 / 611	12	1,0	15,0	1,5	0,0	1,231 U. D. A.
18	Baoui B. Youseff B. Ali Bouchouala	39 59 80	- 7 81 20	24 / 611	-	-	20	1,5	0,0	-
19	H'mamed H. Mohamed Jelitti	39 60 00	- 7 81 10	25 / 611	-	-	21	1,5	0,0	-
20	Jalem B. Abdallah Abbassi	39 60 20	- 7 80 90	26 / 611	31,0	1,4	33,2	1,4	0,0	1,0 1 Hatz 14 CV.

.../...

Inventaire des points d'eau

Lesde, SAYADA SIDI ( Suite )

	Désignation	Coordonnées Géographiques	N° BIRG	H (m)	Caractéristiques du pointeau	R.S.	U.S.I.	Observations
				IP (m)	id (m)	IP (m)	id (m)	
1	YASSI B. ABDALLAH AASSI	29 60 40 - 7 80 50	27 / 611 5,6	3	1 0,6	1 3,5	1 0,0	1 3,0 U.D. A.
2	Ali B. Ahmed Monassi	29 60 05 - 7 80 60	28 / 611 l'osné	-	1 34,9	1 3	1 0,0	1 1,40 Lytier 10 CV.
3	Amar B. Mansour Fadli	29 59 80 - 7 80 80	29 / 611 21,	1,0	1 22,6	1 4,5	1 0,0	1 1,0 Hatz 10 CV.
4	Bougues B. Mohamed Kraïdi	29 59 45 - 7 80 90	30 / 611 20	2,2	1 22,2	1 4,5	1 0,5	1 1,0 Hatz 10 CV.
5	Dhahbi B. Mohamed B. Ahmed Ghedifli	29 59 40 - 7 80 70	31 / 611 25,4	1,7	1 25,1	1 4	1 0,4	1 1,0 Hatz 10 CV.
6	Azkar B. Mohamed Ahmed Kraïdi	29 59 45 - 7 80 90	32 / 611 27,9	1,4	1 29,3	1 3	1 0,0	1 1,0 Hatz 10 CV.
7	Séchir B. Ali B/ Olliane	29 60 10 - 7 80 59	33 / 611 19,2	0,3	1 19,5	1 4,5	1 0,0	1 1,0 Hatz 10 CV.
8	Khelifa B. Sadok El Hich	29 59 95 - 7 80 60	34 / 611 1978	1,2	1 21,0	1 3,0	1 0,2	1 2,06 U. D. A.
9	Séchir B. Othman	29 58 40 - 7 81 65	35 / 611 15	0,85	1 15,65	1 3	1 0,0	1 2,75 Hatz 10 CV.
10	Azed B. Amar Ghedifli et son frère	29 58 45 - 7 81 90	36 / 611 24,6	1,4	1 26,0	1 4,5	1 0,0	1 2,21 Hatz 10 CV.
11	M'Barek B. Ali B. Salah Ghedifli	29 58 55 - 7 81 80	37 / 611 -	-	1 12,9	1 4	1 0,0	1 2,11 En cours.
12	Sadok B. Mohamed B. M'Barek	29 58 30 - 7 81 60	39 / 611 15,9	1,0	1 16,9	1 6	1 0,0	1 1,60 Hatz 10 CV.
13	Abdelhafidh B. Mohamed B. M'Barek	29 58 55 - 7 82 00	40 / 611 4,5	2,7	1 7,2	1 3	1 0,0	1 2,21 U. D. A.
14	Fabrouk B. Mohamed Ferjani Ghedifli	29 58 05 - 7 81 90	41 / 611 16,5	0,3	1 16,0	1 4	1 0,0	1 2,25 En cours.
15	Mohamed Salah Jassia	29 58 70 - 7 84 70	42 / 611 29,0	0,5	1 29,5	1 3	1 0,0	1 1,7 Hatz 10 CV.
16	Krezales Jassmy	29 58 70 - 7 85 00	43 / 611 31,2	0,0	1 32	1 0	1 0,1	1 0,0 U. D. A.
17	Jalali Jarray	29 58 60 - 7 84 60	44 / 611 25	-	1 26,6	1 4	1 0,0	1 0,6 Hatz 10 CV.
18	Azkar B. Amar B. Mohamed Jarray	29 58 40 - 7 84 60	45 / 611 27,2	1,0	1 29,0	1 3	1 0,0	1 0,6 U. D. A.
19	Abdelkarim B. Amar Jarray	29 59 10 - 7 84 65	46 / 611 25,2	0,6	1 25,6	1 4	1 0,0	1 1,2 En cours.
20	Bougues B. Abdellatif Ghedifli	29 59 15 - 7 83 20	47 / 611 35,5	0,7	1 36,0	1 4	1 0,0	1 0,6 En cours.



MAP OF THE TERRITORY OF THE STATE OF MEXICO

STATE LINE OF MEXICO  
IN RELATION TO CANADA

MAP OF THE TERRITORY OF THE STATE OF MEXICO

MAP OF THE TERRITORY OF THE STATE OF MEXICO

MAP OF THE TERRITORY OF THE STATE OF MEXICO

MAP OF THE TERRITORY OF THE STATE OF MEXICO

MAP OF THE TERRITORY OF THE STATE OF MEXICO

MAP OF THE TERRITORY OF THE STATE OF MEXICO

MAP OF THE TERRITORY OF THE STATE OF MEXICO

MAP OF THE TERRITORY OF THE STATE OF MEXICO

MAP OF THE TERRITORY OF THE STATE OF MEXICO

MAP OF THE TERRITORY OF THE STATE OF MEXICO

PLANCHE N°4  
CARTE DE SALTINITE DE LA HAUTE PLATEAU  
SITUATION DE NOVEMBRE 1960

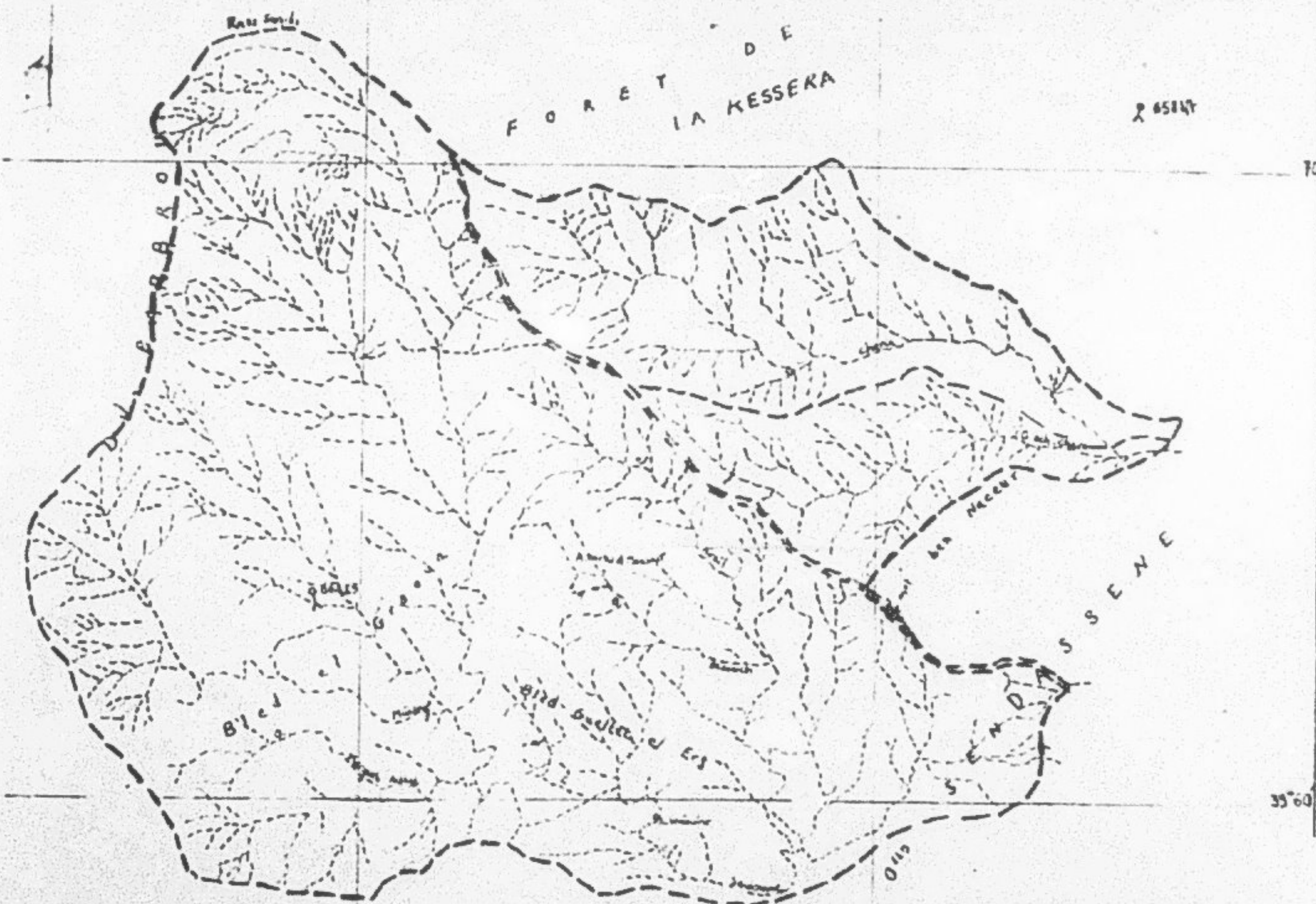


CARTE DE HAUTE - MONTAGNE D'ABERSON AU 1/50,000

Ligne de hautes vagues.

Carte du reseau hydrographique

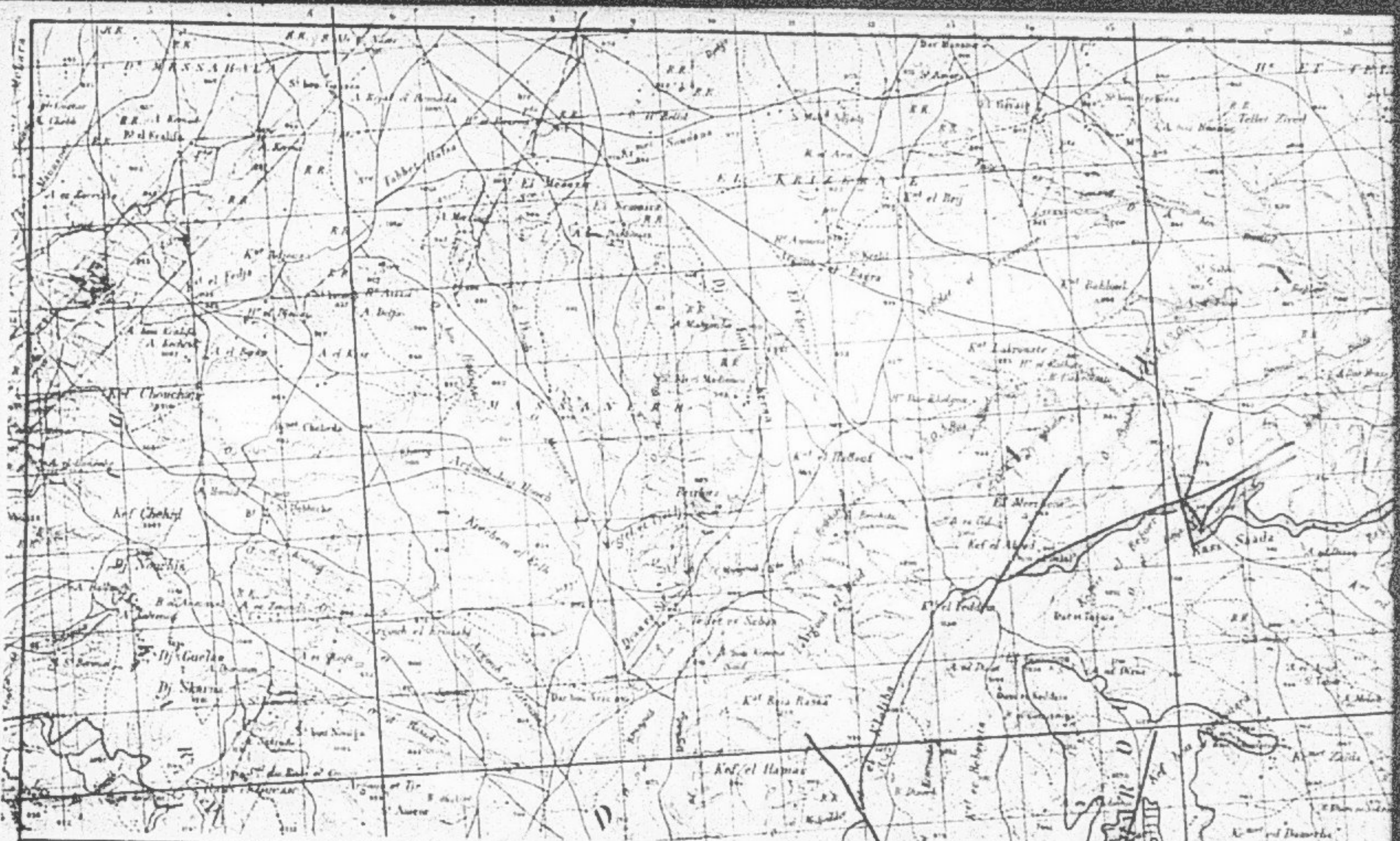
Planche N° 1



Feuille ce ROHIA DJ. BARBROU

au 1/50000

LEGENDE	
	Pluvial system
	Cours d'eau
	Limite du bassin versant
	Limite entre les bassins versants du Zerouï et Derguelli



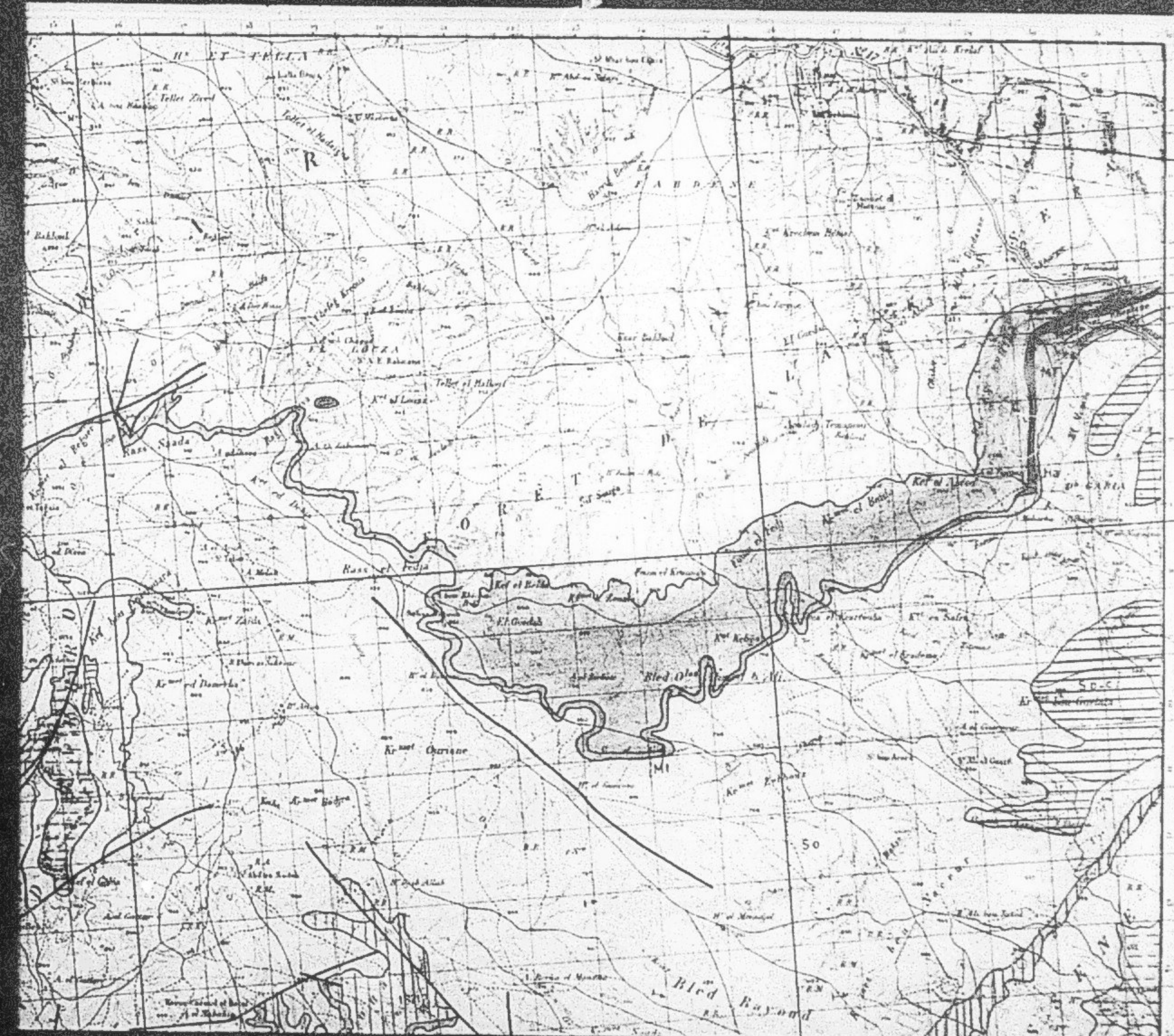
ETUDE HYDROGEOLOGIQUE PRÉLIMINAIRE  
DU PLATEAU DE SAFA DA (TIG. ALA)

CARTE GÉOLOGIQUE  
(D'après le service géologique)

LEGENDE

	Oligocène très supérieur - argiles et calcaires à intercalations
	Oligocène moyen/Oligocène à dominante grès
	Oligocène inférieur/Oligocène à dominante grès/Oligocène non différencié
	Faciès calcaire de l'Ila/Sep. (C3R). Niv. de calcaires plats
	Faciès calcaire de l'Ila/Sep.
	Eocène moyen/Superficie non différenciée
	Paquetté diversifié et gisements de calcaires à coquilles - versant salinisé



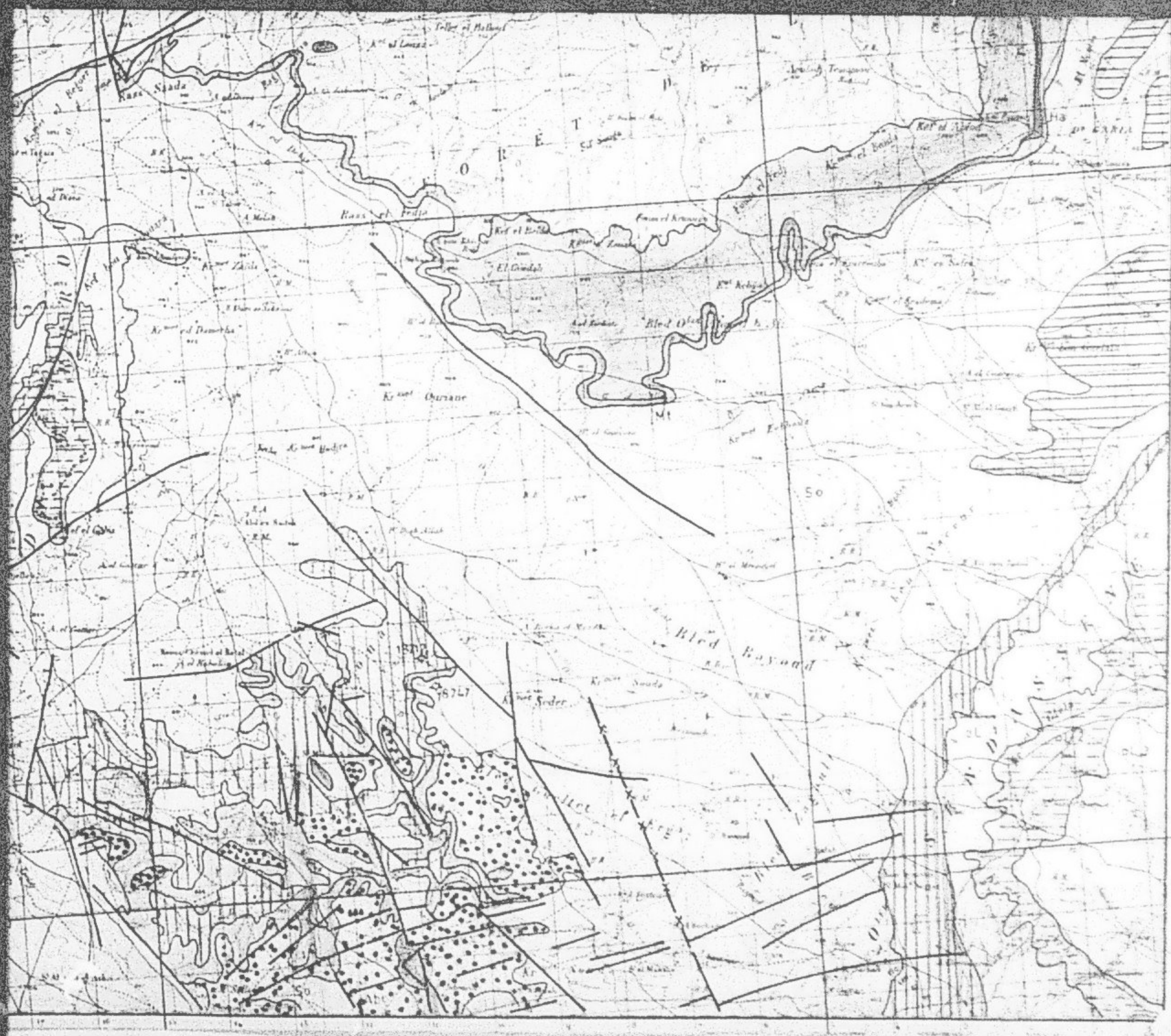


ETUDE HYDROGÉOLOGIQUE PRÉLIMINAIRE  
DU PLATEAU DE SAWNA (SI. ALA)

CARTE GÉOLOGIQUE  
(D'après le service géologique)

LEGENDE





**FIN**

**47**

**VUES**